

Modélisation Mathématique et Numérique de Structures en présence de Couplages Linéaires Multiphysiques

Francesco Bonaldi

Encadrants :

Françoise Krasucki

Directrice, IMAG

Marina Vidrascu

Co-directrice, INRIA de Paris

6 juillet 2016



- **Objectifs et Motivation**
- **Modélisation Mathématique**
- **Simulation Numérique**
- **Développements et Perspectives**
- **Conclusions**

Objectifs et Motivation

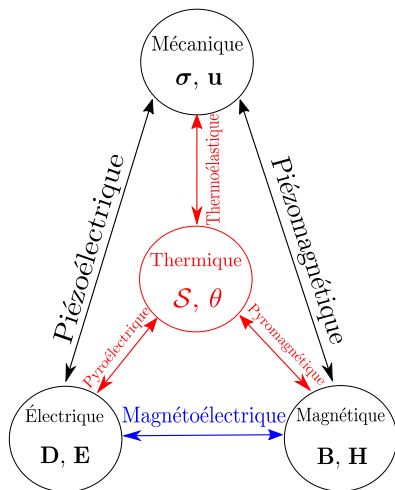
- **Objectifs** : enrichir le modèle classique des *structures intelligentes* (capteurs et/ou actionneurs) en tenant compte des **effets thermiques**, et en présenter une étude **mathématique et numérique**.

Objectifs et Motivation

- **Objectifs** : enrichir le modèle classique des *structures intelligentes* (capteurs et/ou actionneurs) en tenant compte des **effets thermiques**, et en présenter une étude **mathématique et numérique**.
- **Motivation** : les effets de la température peuvent être importants pour améliorer les performances de récolte d'énergie. Applications : microélectronique, dispositifs de mémoire, structures aéronautiques.

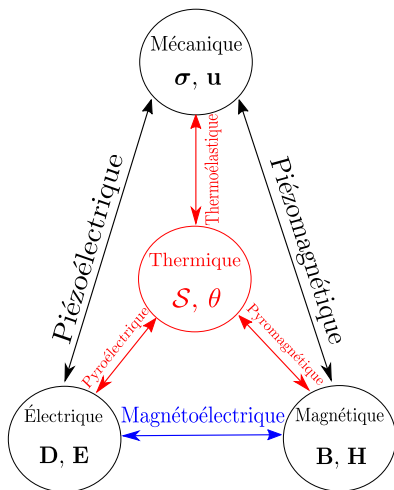
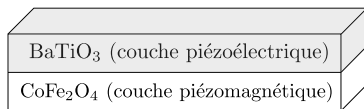
Objectifs et Motivation

- **Objectifs** : enrichir le modèle classique des *structures intelligentes* (capteurs et/ou actionneurs) en tenant compte des **effets thermiques**, et en présenter une étude **mathématique et numérique**.
- **Motivation** : les effets de la température peuvent être importants pour améliorer les performances de récolte d'énergie. Applications : microélectronique, dispositifs de mémoire, structures aéronautiques.



Objectifs et Motivation

- **Objectifs** : enrichir le modèle classique des *structures intelligentes* (capteurs et/ou actionneurs) en tenant compte des **effets thermiques**, et en présenter une étude **mathématique et numérique**.
- **Motivation** : les effets de la température peuvent être importants pour améliorer les performances de récolte d'énergie. Applications : microélectronique, dispositifs de mémoire, structures aéronautiques.
- **Exemple classique** : composite bi-phase **BaTiO₃-CoFe₂O₄**, présentant des couplages de nature magnéto-électro-thermo-élastique (**METE**).



- Objectifs et Motivation
- **Modélisation Mathématique**
- Simulation Numérique
- Développements et Perspectives
- Conclusions

Problème Général

Soit $\Omega \subset \mathbb{R}^3$ ouvert connexe avec frontière Lipschitz-continue, $\tilde{\mathcal{U}} := (\mathbf{u}, \mathbf{E}, \mathbf{H}, \theta)$.

Système d'Équations

$$\begin{cases} \rho \ddot{\mathbf{u}} - \operatorname{div} \boldsymbol{\sigma}(\tilde{\mathcal{U}}) = \mathbf{f} & x \in \Omega, t > 0, \\ \operatorname{div} \mathbf{D}(\tilde{\mathcal{U}}) = \rho_e & x \in \Omega, t > 0, \\ \operatorname{div} \mathbf{B}(\tilde{\mathcal{U}}) = 0 & x \in \Omega, t > 0, \\ \dot{\mathbf{D}}(\tilde{\mathcal{U}}) - \nabla \times \mathbf{H} = -\mathbf{J} & x \in \Omega, t > 0, \\ \dot{\mathbf{B}}(\tilde{\mathcal{U}}) + \nabla \times \mathbf{E} = \mathbf{0} & x \in \Omega, t > 0, \\ \dot{S}(\tilde{\mathcal{U}}) + \frac{1}{T_0} \operatorname{div} \mathbf{q}(\theta) = r & x \in \Omega, t > 0. \end{cases}$$

Problème Général

Soit $\Omega \subset \mathbb{R}^3$ ouvert connexe avec frontière Lipschitz-continue, $\tilde{\mathcal{U}} := (\mathbf{u}, \mathbf{E}, \mathbf{H}, \theta)$.

Système d'Équations

$$\begin{cases} \rho \ddot{\mathbf{u}} - \operatorname{div} \boldsymbol{\sigma}(\tilde{\mathcal{U}}) = \mathbf{f} & x \in \Omega, t > 0, \\ \operatorname{div} \mathbf{D}(\tilde{\mathcal{U}}) = \rho_e & x \in \Omega, t > 0, \\ \operatorname{div} \mathbf{B}(\tilde{\mathcal{U}}) = 0 & x \in \Omega, t > 0, \\ \dot{\mathbf{D}}(\tilde{\mathcal{U}}) - \nabla \times \mathbf{H} = -\mathbf{J} & x \in \Omega, t > 0, \\ \dot{\mathbf{B}}(\tilde{\mathcal{U}}) + \nabla \times \mathbf{E} = \mathbf{0} & x \in \Omega, t > 0, \\ \dot{\mathcal{S}}(\tilde{\mathcal{U}}) + \frac{1}{T_0} \operatorname{div} \mathbf{q}(\theta) = r & x \in \Omega, t > 0. \end{cases}$$

Lois de Comportement

$$\begin{aligned} \boldsymbol{\sigma}(\tilde{\mathcal{U}}) &= \mathbf{C}e(\mathbf{u}) - \mathbf{P}^T \mathbf{E} - \mathbf{R}^T \mathbf{H} - \boldsymbol{\beta} \theta, \\ \mathbf{D}(\tilde{\mathcal{U}}) &= \mathbf{P}e(\mathbf{u}) + \mathbf{X} \mathbf{E} + \boldsymbol{\alpha} \mathbf{H} + \mathbf{p} \theta, \\ \mathbf{B}(\tilde{\mathcal{U}}) &= \mathbf{R}e(\mathbf{u}) + \boldsymbol{\alpha} \mathbf{E} + \mathbf{M} \mathbf{H} + \mathbf{m} \theta, \\ \mathcal{S}(\tilde{\mathcal{U}}) &= \boldsymbol{\beta} : e(\mathbf{u}) + \mathbf{p} \cdot \mathbf{E} + \mathbf{m} \cdot \mathbf{H} + c_v \theta, \\ \mathbf{q}(\theta) &= -\mathbf{K} \nabla \theta. \end{aligned}$$

Problème Général

Soit $\Omega \subset \mathbb{R}^3$ ouvert connexe avec frontière Lipschitz-continue, $\tilde{\mathcal{U}} := (\mathbf{u}, \mathbf{E}, \mathbf{H}, \theta)$.

Système d'Équations

$$\begin{cases} \rho \ddot{\mathbf{u}} - \operatorname{div} \boldsymbol{\sigma}(\tilde{\mathcal{U}}) = \mathbf{f} & x \in \Omega, t > 0, \\ \operatorname{div} \mathbf{D}(\tilde{\mathcal{U}}) = \rho_e & x \in \Omega, t > 0, \\ \operatorname{div} \mathbf{B}(\tilde{\mathcal{U}}) = 0 & x \in \Omega, t > 0, \\ \dot{\mathbf{D}}(\tilde{\mathcal{U}}) - \nabla \times \mathbf{H} = -\mathbf{J} & x \in \Omega, t > 0, \\ \dot{\mathbf{B}}(\tilde{\mathcal{U}}) + \nabla \times \mathbf{E} = \mathbf{0} & x \in \Omega, t > 0, \\ \dot{\mathcal{S}}(\tilde{\mathcal{U}}) + \frac{1}{T_0} \operatorname{div} \mathbf{q}(\theta) = r & x \in \Omega, t > 0. \end{cases}$$

Lois de Comportement

$$\begin{aligned} \boldsymbol{\sigma}(\tilde{\mathcal{U}}) &= \mathbf{C}e(\mathbf{u}) - \mathbf{P}^T \mathbf{E} - \mathbf{R}^T \mathbf{H} - \boldsymbol{\beta} \theta, \\ \mathbf{D}(\tilde{\mathcal{U}}) &= \mathbf{P}e(\mathbf{u}) + \mathbf{X} \mathbf{E} + \boldsymbol{\alpha} \mathbf{H} + \mathbf{p} \theta, \\ \mathbf{B}(\tilde{\mathcal{U}}) &= \mathbf{R}e(\mathbf{u}) + \boldsymbol{\alpha} \mathbf{E} + \mathbf{M} \mathbf{H} + \mathbf{m} \theta, \\ \mathcal{S}(\tilde{\mathcal{U}}) &= \boldsymbol{\beta} : e(\mathbf{u}) + \mathbf{p} \cdot \mathbf{E} + \mathbf{m} \cdot \mathbf{H} + c_v \theta, \\ \mathbf{q}(\theta) &= -\mathbf{K} \nabla \theta. \end{aligned}$$

Conditions aux Limites

$$\begin{cases} \boldsymbol{\sigma}(\tilde{\mathcal{U}}) \mathbf{n} = \mathbf{g} & \text{sur } \Gamma_{mN}, & \mathbf{u} = \mathbf{0} & \text{sur } \Gamma_{mD}, \\ \mathbf{D}(\tilde{\mathcal{U}}) \cdot \mathbf{n} = d & \text{sur } \Gamma_{eN}, & \mathbf{E} \times \mathbf{n} = \mathbf{0} & \text{sur } \Gamma_{eD}, \\ \mathbf{B}(\tilde{\mathcal{U}}) \cdot \mathbf{n} = b & \text{sur } \Gamma_{gN}, & \mathbf{H} \times \mathbf{n} = \mathbf{0} & \text{sur } \Gamma_{gD}, \\ -\mathbf{q}(\theta) \cdot \mathbf{n} = \varrho & \text{sur } \Gamma_{tN}, & \theta = 0 & \text{sur } \Gamma_{tD}. \end{cases}$$

Conditions Initiales

$$\begin{cases} \mathbf{u}(\cdot, 0) = \mathbf{u}_0, \\ \dot{\mathbf{u}}(\cdot, 0) = \mathbf{u}_1, \\ \mathbf{E}(\cdot, 0) = \mathbf{E}_0, \\ \mathbf{H}(\cdot, 0) = \mathbf{H}_0, \\ \theta(\cdot, 0) = \theta_0. \end{cases}$$

Table 1. Paramètres des lois de comportement pour un composite magnéto-électro-thermo-élastique BaTiO₃-CoFe₂O₄ avec fraction volumique 0.6 de BaTiO₃.

Modules Élastiques $C_{1111} = C_{2222}$ (GPa) 200 C_{1122} (GPa) 110 $C_{1133} = C_{2233}$ (GPa) 110 C_{3333} (GPa) 190 $C_{2323} = C_{3131}$ (GPa) 45 C_{1212} (GPa) 45	Perméabilités Magnétiques $M_{11} = M_{22}$ (10^{-4} N s ² /C ²) 1.5 M_{33} (10^{-4} N s ² /C ²) 0.75	
	Coefficients Piézo-magnétiques $R_{311} = R_{322}$ (N/A m) 200 R_{333} (N/A m) 260 R_{113} (N/A m) 180	
	Coefficients Piézoélectriques $P_{311} = P_{322}$ (C/m ²) -3.5 P_{333} (C/m ²) 11	
	Coefficients Magnétoélectriques $\alpha_{11} = \alpha_{22}$ (10^{-12} N s/V C) 6 α_{33} (10^{-12} N s/V C) 2500	
	Permittivités Diélectriques $X_{11} = X_{22}$ (10^{-9} C ² /N m ²) 0.9 X_{33} (10^{-9} C ² /N m ²) 7.5	
	Contraintes Thermiques $\beta_{11} = \beta_{22}$ (10^6 N/K m ²) 4.86 β_{33} (10^6 N/K m ²) 4.32	
Coefficient Pyroélectrique p_3 (10^{-5} C/m ² K) -12.4		
Coefficient Pyromagnétique m_3 (10^{-3} N/A m K) 5.92		
Capacité Thermique c_v (J/m ³ K ²) 325		
Conductivité Thermique K_{33} (W/m K) 2.85		

Existence et Unicité

Théorème

Sous des hypothèses opportunes de **régularité** sur les termes de source et sur les données initiales et aux limites, ainsi que des **conditions de compatibilité** sur les données initiales et aux limites, le problème admet une solution unique $(\mathbf{u}, \mathbf{E}, \mathbf{H}, \theta)$ telle que

$$\begin{cases} \mathbf{u} \in C^2([0, T]; \mathbf{L}^2(\Omega)) \cap C^1([0, T]; \mathbf{H}_{mD}^1(\Omega)), \\ \mathbf{E} \in C^1([0, T]; \mathbf{L}^2(\Omega)) \cap C^0([0, T]; \mathbf{H}_{eD}(\text{curl}, \Omega)), \\ \mathbf{H} \in C^1([0, T]; \mathbf{L}^2(\Omega)) \cap C^0([0, T]; \mathbf{H}_{gD}(\text{curl}, \Omega)), \\ \theta \in C^1([0, T]; L^2(\Omega)) \cap C^0([0, T]; H_{tD}^1(\Omega)). \end{cases}$$

Existence et Unicité

Théorème

Sous des hypothèses opportunes de **régularité** sur les termes de source et sur les données initiales et aux limites, ainsi que des **conditions de compatibilité** sur les données initiales et aux limites, le problème admet une solution unique $(\mathbf{u}, \mathbf{E}, \mathbf{H}, \theta)$ telle que

$$\begin{cases} \mathbf{u} \in C^2([0, T]; \mathbf{L}^2(\Omega)) \cap C^1([0, T]; \mathbf{H}_{mD}^1(\Omega)), \\ \mathbf{E} \in C^1([0, T]; \mathbf{L}^2(\Omega)) \cap C^0([0, T]; \mathbf{H}_{eD}(\text{curl}, \Omega)), \\ \mathbf{H} \in C^1([0, T]; \mathbf{L}^2(\Omega)) \cap C^0([0, T]; \mathbf{H}_{gD}(\text{curl}, \Omega)), \\ \theta \in C^1([0, T]; L^2(\Omega)) \cap C^0([0, T]; H_{tD}^1(\Omega)). \end{cases}$$

- Raoult & Sène (2003) : problème analogue sans effets thermiques et sans couplages piézo-magnétique et magnéto-électrique.
- Imperiale & Joly (2012) : preuve d'existence et unicité dans le cas **piézoélectrique**, \mathbf{E} et \mathbf{H} définis dans \mathbb{R}^3 , basée sur le **Théorème de Hille-Yosida**.

Théorème

Sous des hypothèses opportunes de **régularité** sur les termes de source et sur les données initiales et aux limites, ainsi que des **conditions de compatibilité** sur les données initiales et aux limites, le problème admet une solution unique $(\mathbf{u}, \mathbf{E}, \mathbf{H}, \theta)$ telle que

$$\begin{cases} \mathbf{u} \in C^2([0, T]; \mathbf{L}^2(\Omega)) \cap C^1([0, T]; \mathbf{H}_{mD}^1(\Omega)), \\ \mathbf{E} \in C^1([0, T]; \mathbf{L}^2(\Omega)) \cap C^0([0, T]; \mathbf{H}_{eD}(\text{curl}, \Omega)), \\ \mathbf{H} \in C^1([0, T]; \mathbf{L}^2(\Omega)) \cap C^0([0, T]; \mathbf{H}_{gD}(\text{curl}, \Omega)), \\ \theta \in C^1([0, T]; L^2(\Omega)) \cap C^0([0, T]; H_{tD}^1(\Omega)). \end{cases}$$

- Raoult & Sène (2003) : problème analogue sans effets thermiques et sans couplages piézo-magnétique et magnéto-électrique.
- Imperiale & Joly (2012) : preuve d'existence et unicité dans le cas **piézoélectrique**, \mathbf{E} et \mathbf{H} définis dans \mathbb{R}^3 , basée sur le **Théorème de Hille-Yosida**.

Difficultés :

- Couplages **thermique** et **magnéto-électrique** \Rightarrow Équation de la forme

$$\mathcal{M} \frac{dU}{dt} + \mathcal{A}U = F, \quad \mathcal{M} \text{ défini positif et non diagonal.}$$

Existence et Unicité

Théorème

Sous des hypothèses opportunes de **régularité** sur les termes de source et sur les données initiales et aux limites, ainsi que des **conditions de compatibilité** sur les données initiales et aux limites, le problème admet une solution unique $(\mathbf{u}, \mathbf{E}, \mathbf{H}, \theta)$ telle que

$$\begin{cases} \mathbf{u} \in C^2([0, T]; \mathbf{L}^2(\Omega)) \cap C^1([0, T]; \mathbf{H}_{mD}^1(\Omega)), \\ \mathbf{E} \in C^1([0, T]; \mathbf{L}^2(\Omega)) \cap C^0([0, T]; \mathbf{H}_{eD}(\text{curl}, \Omega)), \\ \mathbf{H} \in C^1([0, T]; \mathbf{L}^2(\Omega)) \cap C^0([0, T]; \mathbf{H}_{gD}(\text{curl}, \Omega)), \\ \theta \in C^1([0, T]; L^2(\Omega)) \cap C^0([0, T]; H_{tD}^1(\Omega)). \end{cases}$$

- Raoult & Sène (2003) : problème analogue sans effets thermiques et sans couplages piézomagnétique et magnétoélectrique.
- Imperiale & Joly (2012) : preuve d'existence et unicité dans le cas **piézoélectrique**, \mathbf{E} et \mathbf{H} définis dans \mathbb{R}^3 , basée sur le **Théorème de Hille-Yosida**.

Difficultés :

- Couplages **thermique** et **magnétoélectrique** \Rightarrow Équation de la forme

$$\mathcal{M} \frac{dU}{dt} + \mathcal{A}U = F, \quad \mathcal{M} \text{ défini positif et non diagonal.}$$

- Introduire des fonctions de relèvement pour les données aux limites.

Adimensionnalisation

- V_+ = vitesse de l'onde élastique la plus rapide se propageant dans le milieu $\simeq 5980$ m/s.
- c_0 = vitesse de la lumière.

Adimensionnalisation

- V_+ = vitesse de l'onde élastique la plus rapide se propageant dans le milieu $\simeq 5980$ m/s.
- c_0 = vitesse de la lumière.

On introduit $\delta := V_+/c_0 \simeq 10^{-5}$.

Adimensionnalisation

- V_+ = vitesse de l'onde élastique la plus rapide se propageant dans le milieu $\simeq 5980$ m/s.
- c_0 = vitesse de la lumière.

On introduit $\delta := V_+/c_0 \simeq 10^{-5}$.

- L'**adimensionnalisation** du système d'équations donne

$$\begin{aligned}\nabla \times \mathbf{E}_r &= -\delta \left(\mathbf{M}_r \dot{\mathbf{H}}_r + \kappa \mathbf{R}_r^T \mathbf{e}(\dot{\mathbf{u}}_r) + \alpha_+ c_0 \boldsymbol{\alpha}_r \dot{\mathbf{E}}_r + v \mathbf{m}_r \dot{\theta}_r \right), \\ \nabla \times \mathbf{H}_r &= \delta \left(\mathbf{X}_r \dot{\mathbf{E}}_r + \chi \mathbf{P}_r^T \mathbf{e}(\dot{\mathbf{u}}_r) + \alpha_+ c_0 \boldsymbol{\alpha}_r \dot{\mathbf{H}}_r + \varsigma \mathbf{p}_r \dot{\theta}_r + \mathbf{J}_r \right),\end{aligned}$$

Adimensionnalisation

- V_+ = vitesse de l'onde élastique la plus rapide se propageant dans le milieu $\simeq 5980$ m/s.
- c_0 = vitesse de la lumière.

On introduit $\delta := V_+/c_0 \simeq 10^{-5}$.

- L'adimensionnalisation du système d'équations donne

$$\begin{aligned}\nabla \times \mathbf{E}_r &= -\delta \left(\mathbf{M}_r \dot{\mathbf{H}}_r + \kappa \mathbf{R}_r^T \mathbf{e}(\dot{\mathbf{u}}_r) + \alpha_+ c_0 \boldsymbol{\alpha}_r \dot{\mathbf{E}}_r + \nu \mathbf{m}_r \dot{\theta}_r \right), \\ \nabla \times \mathbf{H}_r &= \delta \left(\mathbf{X}_r \dot{\mathbf{E}}_r + \chi \mathbf{P}_r^T \mathbf{e}(\dot{\mathbf{u}}_r) + \alpha_+ c_0 \boldsymbol{\alpha}_r \dot{\mathbf{H}}_r + \varsigma \mathbf{p}_r \dot{\theta}_r + \mathbf{J}_r \right),\end{aligned}$$

- Lorsque $\delta \rightarrow 0$, si les seconds membres sont bornés on retrouve [de façon formelle](#)

Hypothèse Quasi-Statique

$$\begin{cases} \nabla \times \mathbf{E}_r = \mathbf{0}, \\ \nabla \times \mathbf{H}_r = \mathbf{0} \end{cases} \Leftrightarrow \begin{cases} \mathbf{E}_r = -\nabla \varphi_r, \\ \mathbf{H}_r = -\nabla \zeta_r \end{cases}$$

Adimensionnalisation

- V_+ = vitesse de l'onde élastique la plus rapide se propageant dans le milieu $\simeq 5980$ m/s.
- c_0 = vitesse de la lumière.

On introduit $\delta := V_+/c_0 \simeq 10^{-5}$.

- L'adimensionnalisation du système d'équations donne

$$\begin{aligned}\nabla \times \mathbf{E}_r &= -\delta \left(\mathbf{M}_r \dot{\mathbf{H}}_r + \kappa \mathbf{R}_r^T \mathbf{e}(\dot{\mathbf{u}}_r) + \alpha_+ c_0 \boldsymbol{\alpha}_r \dot{\mathbf{E}}_r + \nu \mathbf{m}_r \dot{\theta}_r \right), \\ \nabla \times \mathbf{H}_r &= \delta \left(\mathbf{X}_r \dot{\mathbf{E}}_r + \chi \mathbf{P}_r^T \mathbf{e}(\dot{\mathbf{u}}_r) + \alpha_+ c_0 \boldsymbol{\alpha}_r \dot{\mathbf{H}}_r + \varsigma \mathbf{p}_r \dot{\theta}_r + \mathbf{J}_r \right),\end{aligned}$$

- Lorsque $\delta \rightarrow 0$, si les seconds membres sont bornés on retrouve [de façon formelle](#)

Hypothèse Quasi-Statique

$$\begin{cases} \nabla \times \mathbf{E}_r = \mathbf{0}, \\ \nabla \times \mathbf{H}_r = \mathbf{0} \end{cases} \Leftrightarrow \begin{cases} \mathbf{E}_r = -\nabla \varphi_r, \\ \mathbf{H}_r = -\nabla \zeta_r \end{cases}$$

- Imperiale & Joly (2012) : preuve rigoureuse de la convergence vers le modèle quasi-statique pour un milieu **piézoélectrique**.

Problème Quasi-Statique

- Nouveau quadruplet $\mathcal{U} := (\mathbf{u}, \varphi, \zeta, \theta)$.

Système d'Équations Quasi-Statique

$$\begin{cases} \rho \ddot{\mathbf{u}} - \operatorname{div} \boldsymbol{\sigma}(\mathcal{U}) = \mathbf{f} & x \in \Omega, t > 0, \\ \operatorname{div} \mathbf{D}(\mathcal{U}) = \rho_e & x \in \Omega, t > 0, \\ \operatorname{div} \mathbf{B}(\mathcal{U}) = 0 & x \in \Omega, t > 0, \\ \dot{S}(\mathcal{U}) + \frac{1}{T_0} \operatorname{div} \mathbf{q}(\theta) = r & x \in \Omega, t > 0. \end{cases}$$

Conditions aux Limites

$$\begin{cases} \boldsymbol{\sigma}(\mathcal{U}) \mathbf{n} = \mathbf{g} & \text{sur } \Gamma_{mN}, \quad \mathbf{u} = \mathbf{0} & \text{sur } \Gamma_{mD}, \\ \mathbf{D}(\mathcal{U}) \cdot \mathbf{n} = d & \text{sur } \Gamma_{eN}, \quad \varphi = 0 & \text{sur } \Gamma_{eD}, \\ \mathbf{B}(\mathcal{U}) \cdot \mathbf{n} = b & \text{sur } \Gamma_{gN}, \quad \zeta = 0 & \text{sur } \Gamma_{gD}, \\ -\mathbf{q}(\theta) \cdot \mathbf{n} = \varrho & \text{sur } \Gamma_{tN}, \quad \theta = 0 & \text{sur } \Gamma_{tD}. \end{cases}$$

Lois de Comportement

$$\begin{aligned} \boldsymbol{\sigma}(\mathcal{U}) &= \mathbf{C} \mathbf{e}(\mathbf{u}) + \mathbf{P}^T \nabla \varphi + \mathbf{R}^T \nabla \zeta - \boldsymbol{\beta} \theta, \\ \mathbf{D}(\mathcal{U}) &= \mathbf{P} \mathbf{e}(\mathbf{u}) - \mathbf{X} \nabla \varphi - \boldsymbol{\alpha} \nabla \zeta + \mathbf{p} \theta, \\ \mathbf{B}(\mathcal{U}) &= \mathbf{R} \mathbf{e}(\mathbf{u}) - \boldsymbol{\alpha} \nabla \varphi - \mathbf{M} \nabla \zeta + \mathbf{m} \theta, \\ S(\mathcal{U}) &= \boldsymbol{\beta} : \mathbf{e}(\mathbf{u}) - \mathbf{p} \cdot \nabla \varphi - \mathbf{m} \cdot \nabla \zeta + c_v \theta, \\ \mathbf{q}(\theta) &= -\mathbf{K} \nabla \theta. \end{aligned}$$

Conditions Initiales

$$\begin{cases} \mathbf{u}(\cdot, 0) = \mathbf{u}_0, \\ \dot{\mathbf{u}}(\cdot, 0) = \mathbf{u}_1, \\ \theta(\cdot, 0) = \theta_0. \end{cases}$$

Problème Quasi-Statique

- Nouveau quadruplet $\mathcal{U} := (\mathbf{u}, \varphi, \zeta, \theta)$.

Système d'Équations Quasi-Statique

$$\begin{cases} \rho \ddot{\mathbf{u}} - \operatorname{div} \boldsymbol{\sigma}(\mathcal{U}) = \mathbf{f} & x \in \Omega, t > 0, \\ \operatorname{div} \mathbf{D}(\mathcal{U}) = \rho_e & x \in \Omega, t > 0, \\ \operatorname{div} \mathbf{B}(\mathcal{U}) = 0 & x \in \Omega, t > 0, \\ \dot{\mathcal{S}}(\mathcal{U}) + \frac{1}{T_0} \operatorname{div} \mathbf{q}(\theta) = r & x \in \Omega, t > 0. \end{cases}$$

Conditions aux Limites

$$\begin{cases} \boldsymbol{\sigma}(\mathcal{U}) \mathbf{n} = \mathbf{g} & \text{sur } \Gamma_{mN}, \quad \mathbf{u} = \mathbf{0} & \text{sur } \Gamma_{mD}, \\ \mathbf{D}(\mathcal{U}) \cdot \mathbf{n} = d & \text{sur } \Gamma_{eN}, \quad \varphi = 0 & \text{sur } \Gamma_{eD}, \\ \mathbf{B}(\mathcal{U}) \cdot \mathbf{n} = \mathbf{b} & \text{sur } \Gamma_{gN}, \quad \zeta = 0 & \text{sur } \Gamma_{gD}, \\ -\mathbf{q}(\theta) \cdot \mathbf{n} = \varrho & \text{sur } \Gamma_{tN}, \quad \theta = 0 & \text{sur } \Gamma_{tD}. \end{cases}$$

Lois de Comportement

$$\begin{aligned} \boldsymbol{\sigma}(\mathcal{U}) &= \mathbf{C} \mathbf{e}(\mathbf{u}) + \mathbf{P}^T \nabla \varphi + \mathbf{R}^T \nabla \zeta - \boldsymbol{\beta} \theta, \\ \mathbf{D}(\mathcal{U}) &= \mathbf{P} \mathbf{e}(\mathbf{u}) - \mathbf{X} \nabla \varphi - \boldsymbol{\alpha} \nabla \zeta + \mathbf{p} \theta, \\ \mathbf{B}(\mathcal{U}) &= \mathbf{R} \mathbf{e}(\mathbf{u}) - \boldsymbol{\alpha} \nabla \varphi - \mathbf{M} \nabla \zeta + \mathbf{m} \theta, \\ \mathcal{S}(\mathcal{U}) &= \boldsymbol{\beta} : \mathbf{e}(\mathbf{u}) - \mathbf{p} \cdot \nabla \varphi - \mathbf{m} \cdot \nabla \zeta + c_v \theta, \\ \mathbf{q}(\theta) &= -\mathbf{K} \nabla \theta. \end{aligned}$$

Conditions Initiales

$$\begin{cases} \mathbf{u}(\cdot, 0) = \mathbf{u}_0, \\ \dot{\mathbf{u}}(\cdot, 0) = \mathbf{u}_1, \\ \theta(\cdot, 0) = \theta_0. \end{cases}$$

- Miara & Suárez (2013) : problème analogue pour un milieu **thermo-piézoélectrique**.

Théorème

Sous des hypothèses de régularité usuelles sur les termes de sources et les données aux limites, et en supposant que

$$\mathbf{u}_0 \in \mathbf{H}^2(\Omega) \cap \mathbf{H}_{mD}^1(\Omega),$$

$$\mathbf{u}_1 \in \mathbf{H}_{mD}^1(\Omega),$$

$$\theta_0 \in H^2(\Omega) \cap H_{tD}^1(\Omega),$$

on obtient une solution unique $(\mathbf{u}, \varphi, \zeta, \theta)$ telle que

$$\begin{cases} \mathbf{u} \in C^0([0, T]; \mathbf{H}_{mD}^1(\Omega)) \cap C^1([0, T]; \mathbf{L}^2(\Omega)), \\ \varphi \in H^1(0, T; H_{eD}^1(\Omega)) \cap C^0([0, T]; H_{eD}^1(\Omega)), \\ \zeta \in H^1(0, T; H_{gD}^1(\Omega)) \cap C^0([0, T]; H_{gD}^1(\Omega)), \\ \theta \in H^1(0, T; H_{tD}^1(\Omega)) \cap C^0([0, T]; H_{tD}^1(\Omega)). \end{cases}$$

Théorème

Sous des hypothèses de régularité usuelles sur les termes de sources et les données aux limites, et en supposant que

$$\mathbf{u}_0 \in \mathbf{H}^2(\Omega) \cap \mathbf{H}_{mD}^1(\Omega),$$

$$\mathbf{u}_1 \in \mathbf{H}_{mD}^1(\Omega),$$

$$\theta_0 \in H^2(\Omega) \cap H_{tD}^1(\Omega),$$

on obtient une solution unique $(\mathbf{u}, \varphi, \zeta, \theta)$ telle que

$$\begin{cases} \mathbf{u} \in C^0([0, T]; \mathbf{H}_{mD}^1(\Omega)) \cap C^1([0, T]; \mathbf{L}^2(\Omega)), \\ \varphi \in H^1(0, T; H_{eD}^1(\Omega)) \cap C^0([0, T]; H_{eD}^1(\Omega)), \\ \zeta \in H^1(0, T; H_{gD}^1(\Omega)) \cap C^0([0, T]; H_{gD}^1(\Omega)), \\ \theta \in H^1(0, T; H_{tD}^1(\Omega)) \cap C^0([0, T]; H_{tD}^1(\Omega)). \end{cases}$$

- Preuve basée sur la méthode de **Faedo-Galerkin**.

Théorème

Sous des hypothèses de régularité usuelles sur les termes de sources et les données aux limites, et en supposant que

$$\begin{aligned} \mathbf{u}_0 &\in \mathbf{H}^2(\Omega) \cap \mathbf{H}_{mD}^1(\Omega), \\ \mathbf{u}_1 &\in \mathbf{H}_{mD}^1(\Omega), \\ \theta_0 &\in H^2(\Omega) \cap H_{tD}^1(\Omega), \end{aligned}$$

on obtient une solution unique $(\mathbf{u}, \varphi, \zeta, \theta)$ telle que

$$\begin{cases} \mathbf{u} \in C^0([0, T]; \mathbf{H}_{mD}^1(\Omega)) \cap C^1([0, T]; \mathbf{L}^2(\Omega)), \\ \varphi \in H^1(0, T; H_{eD}^1(\Omega)) \cap C^0([0, T]; H_{eD}^1(\Omega)), \\ \zeta \in H^1(0, T; H_{gD}^1(\Omega)) \cap C^0([0, T]; H_{gD}^1(\Omega)), \\ \theta \in H^1(0, T; H_{tD}^1(\Omega)) \cap C^0([0, T]; H_{tD}^1(\Omega)). \end{cases}$$

- Preuve basée sur la méthode de **Faedo-Galerkin**.
- Avec le choix

$$(\mathbf{u}_0, \mathbf{u}_1, \theta_0) \in \mathbf{H}_{mD}^1(\Omega) \times \mathbf{L}^2(\Omega) \times H_{tD}^1(\Omega)$$

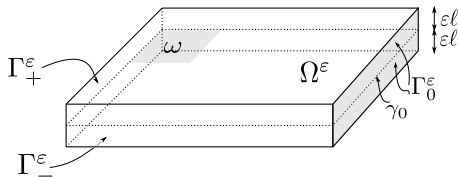
on obtient une solution moins régulière en temps.

Plaques

On identifie Ω avec une région en forme de plaque Ω^ε , d'épaisseur $2\varepsilon l$.

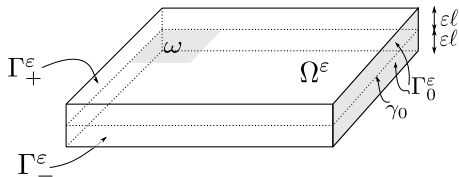
Plaques

On identifie Ω avec une région en forme de plaque Ω^ε , d'épaisseur $2\varepsilon l$.



Plaques

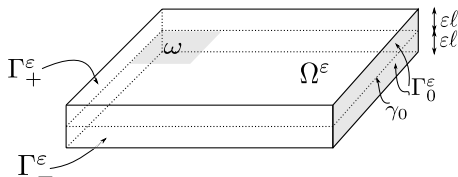
On identifie Ω avec une région en forme de plaque Ω^ε , d'épaisseur $2\varepsilon l$.



Soit $\mathcal{U}^\varepsilon := (\mathbf{u}^\varepsilon, \varphi^\varepsilon, \zeta^\varepsilon, \theta^\varepsilon)$.

Plaques

On identifie Ω avec une région en forme de plaque Ω^ε , d'épaisseur $2\varepsilon l$.



Soit $\mathcal{U}^\varepsilon := (\mathbf{u}^\varepsilon, \varphi^\varepsilon, \zeta^\varepsilon, \theta^\varepsilon)$.

Système d'Équations Quasi-Statique

$$\begin{cases} \rho^\varepsilon \ddot{\mathbf{u}}^\varepsilon - \operatorname{div}^\varepsilon \boldsymbol{\sigma}^\varepsilon(\mathcal{U}^\varepsilon) = \mathbf{f}^\varepsilon & x^\varepsilon \in \Omega^\varepsilon, t > 0, \\ \operatorname{div}^\varepsilon \mathbf{D}^\varepsilon(\mathcal{U}^\varepsilon) = \rho_e^\varepsilon & x^\varepsilon \in \Omega^\varepsilon, t > 0, \\ \operatorname{div}^\varepsilon \mathbf{B}^\varepsilon(\mathcal{U}^\varepsilon) = 0 & x^\varepsilon \in \Omega^\varepsilon, t > 0, \\ \dot{\mathcal{S}}^\varepsilon(\mathcal{U}^\varepsilon) + \frac{1}{T_0} \operatorname{div}^\varepsilon \mathbf{q}^\varepsilon(\theta^\varepsilon) = r^\varepsilon & x^\varepsilon \in \Omega^\varepsilon, t > 0, \end{cases}$$

■ Loi de comportement

$$(\boldsymbol{\sigma}^\varepsilon(\mathcal{U}^\varepsilon), \mathbf{D}^\varepsilon(\mathcal{U}^\varepsilon), \mathbf{B}^\varepsilon(\mathcal{U}^\varepsilon), \mathcal{S}^\varepsilon(\mathcal{U}^\varepsilon)) = \mathcal{L}^\varepsilon \mathcal{U}^\varepsilon.$$

Conditions Initiales

$$\begin{cases} \mathbf{u}^\varepsilon(x^\varepsilon, 0) = \mathbf{u}_0^\varepsilon(x^\varepsilon), & x^\varepsilon \in \Omega^\varepsilon, \\ \dot{\mathbf{u}}^\varepsilon(x^\varepsilon, 0) = \mathbf{u}_1^\varepsilon(x^\varepsilon), & x^\varepsilon \in \Omega^\varepsilon, \\ \theta^\varepsilon(x^\varepsilon, 0) = \theta_0^\varepsilon(x^\varepsilon), & x^\varepsilon \in \Omega^\varepsilon. \end{cases}$$

Conditions Initiales et aux Limites

Conditions Initiales

$$\begin{cases} \mathbf{u}^\varepsilon(x^\varepsilon, 0) = \mathbf{u}_0^\varepsilon(x^\varepsilon), & x^\varepsilon \in \Omega^\varepsilon, \\ \dot{\mathbf{u}}^\varepsilon(x^\varepsilon, 0) = \mathbf{u}_1^\varepsilon(x^\varepsilon), & x^\varepsilon \in \Omega^\varepsilon, \\ \theta^\varepsilon(x^\varepsilon, 0) = \theta_0^\varepsilon(x^\varepsilon), & x^\varepsilon \in \Omega^\varepsilon. \end{cases}$$

Conditions aux Limites Thermomécaniques

$$\begin{cases} \boldsymbol{\sigma}^\varepsilon(\boldsymbol{\chi}^\varepsilon)\mathbf{n}^\varepsilon = \mathbf{g}^\varepsilon & \text{sur } \hat{\Gamma}^\varepsilon, & \mathbf{u}^\varepsilon = \mathbf{0} & \text{sur } \Gamma_0^\varepsilon, \\ -\mathbf{q}^\varepsilon(\theta^\varepsilon) \cdot \mathbf{n}^\varepsilon = \varrho^\varepsilon & \text{sur } \hat{\Gamma}^\varepsilon, & \theta^\varepsilon = 0 & \text{sur } \Gamma_0^\varepsilon. \end{cases}$$

Conditions Initiales et aux Limites

Conditions Initiales

$$\begin{cases} \mathbf{u}^\varepsilon(x^\varepsilon, 0) = \mathbf{u}_0^\varepsilon(x^\varepsilon), & x^\varepsilon \in \Omega^\varepsilon, \\ \dot{\mathbf{u}}^\varepsilon(x^\varepsilon, 0) = \mathbf{u}_1^\varepsilon(x^\varepsilon), & x^\varepsilon \in \Omega^\varepsilon, \\ \theta^\varepsilon(x^\varepsilon, 0) = \theta_0^\varepsilon(x^\varepsilon), & x^\varepsilon \in \Omega^\varepsilon. \end{cases}$$

Conditions aux Limites Thermomécaniques

$$\begin{cases} \boldsymbol{\sigma}^\varepsilon(\boldsymbol{\chi}^\varepsilon)\mathbf{n}^\varepsilon = \mathbf{g}^\varepsilon & \text{sur } \hat{\Gamma}^\varepsilon, & \mathbf{u}^\varepsilon = \mathbf{0} & \text{sur } \Gamma_0^\varepsilon, \\ -\mathbf{q}^\varepsilon(\theta^\varepsilon) \cdot \mathbf{n}^\varepsilon = \rho^\varepsilon & \text{sur } \hat{\Gamma}^\varepsilon, & \theta^\varepsilon = 0 & \text{sur } \Gamma_0^\varepsilon. \end{cases}$$

Conditions aux Limites Électromagnétiques

Conditions Initiales et aux Limites

Conditions Initiales

$$\begin{cases} \mathbf{u}^\varepsilon(x^\varepsilon, 0) = \mathbf{u}_0^\varepsilon(x^\varepsilon), & x^\varepsilon \in \Omega^\varepsilon, \\ \dot{\mathbf{u}}^\varepsilon(x^\varepsilon, 0) = \mathbf{u}_1^\varepsilon(x^\varepsilon), & x^\varepsilon \in \Omega^\varepsilon, \\ \theta^\varepsilon(x^\varepsilon, 0) = \theta_0^\varepsilon(x^\varepsilon), & x^\varepsilon \in \Omega^\varepsilon. \end{cases}$$

Conditions aux Limites Thermomécaniques

$$\begin{cases} \boldsymbol{\sigma}^\varepsilon(\boldsymbol{\chi}^\varepsilon)\mathbf{n}^\varepsilon = \mathbf{g}^\varepsilon & \text{sur } \hat{\Gamma}^\varepsilon, & \mathbf{u}^\varepsilon = \mathbf{0} & \text{sur } \Gamma_0^\varepsilon, \\ -\mathbf{q}^\varepsilon(\theta^\varepsilon) \cdot \mathbf{n}^\varepsilon = \rho^\varepsilon & \text{sur } \hat{\Gamma}^\varepsilon, & \theta^\varepsilon = 0 & \text{sur } \Gamma_0^\varepsilon. \end{cases}$$

Conditions aux Limites Électromagnétiques

Capteur Électrique - Actionneur Magnétique

$$\begin{cases} \mathbf{D}^\varepsilon(\mathcal{U}^\varepsilon) \cdot \mathbf{n}^\varepsilon = d^\varepsilon & \text{sur } \hat{\Gamma}^\varepsilon, & \varphi^\varepsilon = 0 & \text{sur } \Gamma_0^\varepsilon, \\ \mathbf{B}^\varepsilon(\mathcal{U}^\varepsilon) \cdot \mathbf{n}^\varepsilon = 0 & \text{sur } \Gamma^\varepsilon, & \zeta^\varepsilon = \zeta^{\pm, \varepsilon} & \text{sur } \Gamma_\pm^\varepsilon. \end{cases}$$

Conditions Initiales et aux Limites

Conditions Initiales

$$\begin{cases} \mathbf{u}^\varepsilon(x^\varepsilon, 0) = \mathbf{u}_0^\varepsilon(x^\varepsilon), & x^\varepsilon \in \Omega^\varepsilon, \\ \dot{\mathbf{u}}^\varepsilon(x^\varepsilon, 0) = \mathbf{u}_1^\varepsilon(x^\varepsilon), & x^\varepsilon \in \Omega^\varepsilon, \\ \theta^\varepsilon(x^\varepsilon, 0) = \theta_0^\varepsilon(x^\varepsilon), & x^\varepsilon \in \Omega^\varepsilon. \end{cases}$$

Conditions aux Limites Thermomécaniques

$$\begin{cases} \boldsymbol{\sigma}^\varepsilon(\boldsymbol{\chi}^\varepsilon)\mathbf{n}^\varepsilon = \mathbf{g}^\varepsilon & \text{sur } \hat{\Gamma}^\varepsilon, & \mathbf{u}^\varepsilon = \mathbf{0} & \text{sur } \Gamma_0^\varepsilon, \\ -\mathbf{q}^\varepsilon(\theta^\varepsilon) \cdot \mathbf{n}^\varepsilon = \varrho^\varepsilon & \text{sur } \hat{\Gamma}^\varepsilon, & \theta^\varepsilon = 0 & \text{sur } \Gamma_0^\varepsilon. \end{cases}$$

Conditions aux Limites Électromagnétiques

Capteur Électrique - Actionneur Magnétique

$$\begin{cases} \mathbf{D}^\varepsilon(\mathcal{U}^\varepsilon) \cdot \mathbf{n}^\varepsilon = d^\varepsilon & \text{sur } \hat{\Gamma}^\varepsilon, & \varphi^\varepsilon = 0 & \text{sur } \Gamma_0^\varepsilon, \\ \mathbf{B}^\varepsilon(\mathcal{U}^\varepsilon) \cdot \mathbf{n}^\varepsilon = 0 & \text{sur } \Gamma^\varepsilon, & \zeta^\varepsilon = \zeta^{\pm, \varepsilon} & \text{sur } \Gamma_\pm^\varepsilon. \end{cases}$$

Capteur Magnétique - Actionneur Électrique

$$\begin{cases} \mathbf{D}^\varepsilon(\mathcal{U}^\varepsilon) \cdot \mathbf{n}^\varepsilon = 0 & \text{sur } \Gamma^\varepsilon, & \varphi^\varepsilon = \varphi^{\pm, \varepsilon} & \text{sur } \Gamma_\pm^\varepsilon, \\ \mathbf{B}^\varepsilon(\mathcal{U}^\varepsilon) \cdot \mathbf{n}^\varepsilon = b^\varepsilon & \text{sur } \hat{\Gamma}^\varepsilon, & \zeta^\varepsilon = 0 & \text{sur } \Gamma_0^\varepsilon. \end{cases}$$

Conditions Initiales et aux Limites

Conditions Initiales

$$\begin{cases} \mathbf{u}^\varepsilon(x^\varepsilon, 0) = \mathbf{u}_0^\varepsilon(x^\varepsilon), & x^\varepsilon \in \Omega^\varepsilon, \\ \dot{\mathbf{u}}^\varepsilon(x^\varepsilon, 0) = \mathbf{u}_1^\varepsilon(x^\varepsilon), & x^\varepsilon \in \Omega^\varepsilon, \\ \theta^\varepsilon(x^\varepsilon, 0) = \theta_0^\varepsilon(x^\varepsilon), & x^\varepsilon \in \Omega^\varepsilon. \end{cases}$$

Conditions aux Limites Thermomécaniques

$$\begin{cases} \boldsymbol{\sigma}^\varepsilon(\mathcal{X}^\varepsilon)\mathbf{n}^\varepsilon = \mathbf{g}^\varepsilon & \text{sur } \hat{\Gamma}^\varepsilon, & \mathbf{u}^\varepsilon = \mathbf{0} & \text{sur } \Gamma_0^\varepsilon, \\ -\mathbf{q}^\varepsilon(\theta^\varepsilon) \cdot \mathbf{n}^\varepsilon = \varrho^\varepsilon & \text{sur } \hat{\Gamma}^\varepsilon, & \theta^\varepsilon = 0 & \text{sur } \Gamma_0^\varepsilon. \end{cases}$$

Conditions aux Limites Électromagnétiques

Capteur Électrique - Actionneur Magnétique

$$\begin{cases} \mathbf{D}^\varepsilon(\mathcal{U}^\varepsilon) \cdot \mathbf{n}^\varepsilon = d^\varepsilon & \text{sur } \hat{\Gamma}^\varepsilon, & \varphi^\varepsilon = 0 & \text{sur } \Gamma_0^\varepsilon, \\ \mathbf{B}^\varepsilon(\mathcal{U}^\varepsilon) \cdot \mathbf{n}^\varepsilon = 0 & \text{sur } \Gamma^\varepsilon, & \zeta^\varepsilon = \zeta^{\pm, \varepsilon} & \text{sur } \Gamma_\pm^\varepsilon. \end{cases}$$

Actionneur Électrique et Magnétique

$$\begin{cases} \mathbf{D}^\varepsilon(\mathcal{U}^\varepsilon) \cdot \mathbf{n}^\varepsilon = 0 & \text{sur } \Gamma^\varepsilon, & \varphi^\varepsilon = \varphi^{\pm, \varepsilon} & \text{sur } \Gamma_\pm^\varepsilon, \\ \mathbf{B}^\varepsilon(\mathcal{U}^\varepsilon) \cdot \mathbf{n}^\varepsilon = 0 & \text{sur } \Gamma^\varepsilon, & \zeta^\varepsilon = \zeta^{\pm, \varepsilon} & \text{sur } \Gamma_\pm^\varepsilon. \end{cases}$$

Capteur Magnétique - Actionneur Électrique

$$\begin{cases} \mathbf{D}^\varepsilon(\mathcal{U}^\varepsilon) \cdot \mathbf{n}^\varepsilon = 0 & \text{sur } \Gamma^\varepsilon, & \varphi^\varepsilon = \varphi^{\pm, \varepsilon} & \text{sur } \Gamma_\pm^\varepsilon, \\ \mathbf{B}^\varepsilon(\mathcal{U}^\varepsilon) \cdot \mathbf{n}^\varepsilon = b^\varepsilon & \text{sur } \hat{\Gamma}^\varepsilon, & \zeta^\varepsilon = 0 & \text{sur } \Gamma_0^\varepsilon. \end{cases}$$

Conditions Initiales et aux Limites

Conditions Initiales

$$\begin{cases} \mathbf{u}^\varepsilon(x^\varepsilon, 0) = \mathbf{u}_0^\varepsilon(x^\varepsilon), & x^\varepsilon \in \Omega^\varepsilon, \\ \dot{\mathbf{u}}^\varepsilon(x^\varepsilon, 0) = \mathbf{u}_1^\varepsilon(x^\varepsilon), & x^\varepsilon \in \Omega^\varepsilon, \\ \theta^\varepsilon(x^\varepsilon, 0) = \theta_0^\varepsilon(x^\varepsilon), & x^\varepsilon \in \Omega^\varepsilon. \end{cases}$$

Conditions aux Limites Thermomécaniques

$$\begin{cases} \boldsymbol{\sigma}^\varepsilon(\boldsymbol{\chi}^\varepsilon)\mathbf{n}^\varepsilon = \mathbf{g}^\varepsilon & \text{sur } \hat{\Gamma}^\varepsilon, & \mathbf{u}^\varepsilon = \mathbf{0} & \text{sur } \Gamma_0^\varepsilon, \\ -\mathbf{q}^\varepsilon(\theta^\varepsilon) \cdot \mathbf{n}^\varepsilon = \varrho^\varepsilon & \text{sur } \hat{\Gamma}^\varepsilon, & \theta^\varepsilon = 0 & \text{sur } \Gamma_0^\varepsilon. \end{cases}$$

Conditions aux Limites Électromagnétiques

Capteur Électrique - Actionneur Magnétique

$$\begin{cases} \mathbf{D}^\varepsilon(\mathcal{U}^\varepsilon) \cdot \mathbf{n}^\varepsilon = d^\varepsilon & \text{sur } \hat{\Gamma}^\varepsilon, & \varphi^\varepsilon = 0 & \text{sur } \Gamma_0^\varepsilon, \\ \mathbf{B}^\varepsilon(\mathcal{U}^\varepsilon) \cdot \mathbf{n}^\varepsilon = 0 & \text{sur } \Gamma^\varepsilon, & \zeta^\varepsilon = \zeta^{\pm, \varepsilon} & \text{sur } \Gamma_\pm^\varepsilon. \end{cases}$$

Actionneur Électrique et Magnétique

$$\begin{cases} \mathbf{D}^\varepsilon(\mathcal{U}^\varepsilon) \cdot \mathbf{n}^\varepsilon = 0 & \text{sur } \Gamma^\varepsilon, & \varphi^\varepsilon = \varphi^{\pm, \varepsilon} & \text{sur } \Gamma_\pm^\varepsilon, \\ \mathbf{B}^\varepsilon(\mathcal{U}^\varepsilon) \cdot \mathbf{n}^\varepsilon = 0 & \text{sur } \Gamma^\varepsilon, & \zeta^\varepsilon = \zeta^{\pm, \varepsilon} & \text{sur } \Gamma_\pm^\varepsilon. \end{cases}$$

Capteur Magnétique - Actionneur Électrique

$$\begin{cases} \mathbf{D}^\varepsilon(\mathcal{U}^\varepsilon) \cdot \mathbf{n}^\varepsilon = 0 & \text{sur } \Gamma^\varepsilon, & \varphi^\varepsilon = \varphi^{\pm, \varepsilon} & \text{sur } \Gamma_\pm^\varepsilon, \\ \mathbf{B}^\varepsilon(\mathcal{U}^\varepsilon) \cdot \mathbf{n}^\varepsilon = b^\varepsilon & \text{sur } \hat{\Gamma}^\varepsilon, & \zeta^\varepsilon = 0 & \text{sur } \Gamma_0^\varepsilon. \end{cases}$$

Capteur Électrique et Magnétique

$$\begin{cases} \mathbf{D}^\varepsilon(\mathcal{U}^\varepsilon) \cdot \mathbf{n}^\varepsilon = d^\varepsilon & \text{sur } \hat{\Gamma}^\varepsilon, & \varphi^\varepsilon = 0 & \text{sur } \Gamma_0^\varepsilon, \\ \mathbf{B}^\varepsilon(\mathcal{U}^\varepsilon) \cdot \mathbf{n}^\varepsilon = b^\varepsilon & \text{sur } \hat{\Gamma}^\varepsilon, & \zeta^\varepsilon = 0 & \text{sur } \Gamma_0^\varepsilon. \end{cases}$$

Conditions Initiales et aux Limites

Conditions Initiales

$$\begin{cases} \mathbf{u}^\varepsilon(x^\varepsilon, 0) = \mathbf{u}_0^\varepsilon(x^\varepsilon), & x^\varepsilon \in \Omega^\varepsilon, \\ \dot{\mathbf{u}}^\varepsilon(x^\varepsilon, 0) = \mathbf{u}_1^\varepsilon(x^\varepsilon), & x^\varepsilon \in \Omega^\varepsilon, \\ \theta^\varepsilon(x^\varepsilon, 0) = \theta_0^\varepsilon(x^\varepsilon), & x^\varepsilon \in \Omega^\varepsilon. \end{cases}$$

Conditions aux Limites Thermomécaniques

$$\begin{cases} \boldsymbol{\sigma}^\varepsilon(\mathcal{X}^\varepsilon)\mathbf{n}^\varepsilon = \mathbf{g}^\varepsilon & \text{sur } \hat{\Gamma}^\varepsilon, & \mathbf{u}^\varepsilon = \mathbf{0} & \text{sur } \Gamma_0^\varepsilon, \\ -\mathbf{q}^\varepsilon(\theta^\varepsilon) \cdot \mathbf{n}^\varepsilon = \varrho^\varepsilon & \text{sur } \hat{\Gamma}^\varepsilon, & \theta^\varepsilon = 0 & \text{sur } \Gamma_0^\varepsilon. \end{cases}$$

Conditions aux Limites Électromagnétiques

Capteur Électrique - Actionneur Magnétique

$$\begin{cases} \mathbf{D}^\varepsilon(\mathcal{U}^\varepsilon) \cdot \mathbf{n}^\varepsilon = d^\varepsilon & \text{sur } \hat{\Gamma}^\varepsilon, & \varphi^\varepsilon = 0 & \text{sur } \Gamma_0^\varepsilon, \\ \mathbf{B}^\varepsilon(\mathcal{U}^\varepsilon) \cdot \mathbf{n}^\varepsilon = 0 & \text{sur } \Gamma^\varepsilon, & \zeta^\varepsilon = \zeta^{\pm, \varepsilon} & \text{sur } \Gamma_\pm^\varepsilon. \end{cases}$$

Actionneur Électrique et Magnétique

$$\begin{cases} \mathbf{D}^\varepsilon(\mathcal{U}^\varepsilon) \cdot \mathbf{n}^\varepsilon = 0 & \text{sur } \Gamma^\varepsilon, & \varphi^\varepsilon = \varphi^{\pm, \varepsilon} & \text{sur } \Gamma_\pm^\varepsilon, \\ \mathbf{B}^\varepsilon(\mathcal{U}^\varepsilon) \cdot \mathbf{n}^\varepsilon = 0 & \text{sur } \Gamma^\varepsilon, & \zeta^\varepsilon = \zeta^{\pm, \varepsilon} & \text{sur } \Gamma_\pm^\varepsilon. \end{cases}$$

Capteur Magnétique - Actionneur Électrique

$$\begin{cases} \mathbf{D}^\varepsilon(\mathcal{U}^\varepsilon) \cdot \mathbf{n}^\varepsilon = 0 & \text{sur } \Gamma^\varepsilon, & \varphi^\varepsilon = \varphi^{\pm, \varepsilon} & \text{sur } \Gamma_\pm^\varepsilon, \\ \mathbf{B}^\varepsilon(\mathcal{U}^\varepsilon) \cdot \mathbf{n}^\varepsilon = b^\varepsilon & \text{sur } \hat{\Gamma}^\varepsilon, & \zeta^\varepsilon = 0 & \text{sur } \Gamma_0^\varepsilon. \end{cases}$$

Capteur Électrique et Magnétique

$$\begin{cases} \mathbf{D}^\varepsilon(\mathcal{U}^\varepsilon) \cdot \mathbf{n}^\varepsilon = d^\varepsilon & \text{sur } \hat{\Gamma}^\varepsilon, & \varphi^\varepsilon = 0 & \text{sur } \Gamma_0^\varepsilon, \\ \mathbf{B}^\varepsilon(\mathcal{U}^\varepsilon) \cdot \mathbf{n}^\varepsilon = b^\varepsilon & \text{sur } \hat{\Gamma}^\varepsilon, & \zeta^\varepsilon = 0 & \text{sur } \Gamma_0^\varepsilon. \end{cases}$$

- Licht & Weller (2010) ont considéré ces conditions aux limites dans le cas piézo-magnéto-électrique en **statique**.

Mises à l'Échelle

- Coefficients des lois de comportement **indépendants** de ε .
- Tenseur de masse :

$$\rho_{\alpha}^{\varepsilon}(x^{\varepsilon}) = \rho(x), \quad \rho_3^{\varepsilon}(x^{\varepsilon}) = \varepsilon^2 \rho(x), \quad \forall x^{\varepsilon} = \pi^{\varepsilon} x \in \overline{\Omega}^{\varepsilon}.$$

Mises à l'Échelle

- Coefficients des lois de comportement **indépendants** de ε .
- Tenseur de masse :

$$\rho_\alpha^\varepsilon(x^\varepsilon) = \rho(x), \quad \rho_3^\varepsilon(x^\varepsilon) = \varepsilon^2 \rho(x), \quad \forall x^\varepsilon = \pi^\varepsilon x \in \overline{\Omega}^\varepsilon.$$

- Déplacement \mathbf{u}^ε et variation de température θ^ε :

$$u_\alpha^\varepsilon(x^\varepsilon, t) = u_\alpha(\varepsilon)(x, t), \quad u_3^\varepsilon(x^\varepsilon, t) = \varepsilon^{-1} u_3(\varepsilon)(x, t), \\ \theta^\varepsilon(x^\varepsilon, t) = \theta(\varepsilon)(x, t), \quad \forall x^\varepsilon = \pi^\varepsilon x \in \overline{\Omega}^\varepsilon, \quad t > 0.$$

Analyse Asymptotique I

Mises à l'Échelle

- Coefficients des lois de comportement **indépendants** de ε .

- Tenseur de masse :

$$\rho_\alpha^\varepsilon(x^\varepsilon) = \rho(x), \quad \rho_3^\varepsilon(x^\varepsilon) = \varepsilon^2 \rho(x), \quad \forall x^\varepsilon = \pi^\varepsilon x \in \overline{\Omega}^\varepsilon.$$

- Déplacement u^ε et variation de temperature θ^ε :

$$u_\alpha^\varepsilon(x^\varepsilon, t) = u_\alpha(\varepsilon)(x, t), \quad u_3^\varepsilon(x^\varepsilon, t) = \varepsilon^{-1} u_3(\varepsilon)(x, t), \\ \theta^\varepsilon(x^\varepsilon, t) = \theta(\varepsilon)(x, t), \quad \forall x^\varepsilon = \pi^\varepsilon x \in \overline{\Omega}^\varepsilon, \quad t > 0.$$

- Potentiels φ^ε et ζ^ε :

$$\varphi^\varepsilon(x^\varepsilon, t) = \varepsilon^p \varphi(\varepsilon)(x, t), \quad \zeta^\varepsilon(x^\varepsilon, t) = \varepsilon^q \zeta(\varepsilon)(x, t), \quad p, q \in \{0, 1\}.$$

	$p = 0$	$p = 1$
$q = 0$	Capteur Électrique et Magnétique	Actionneur Électrique - Capteur Magnétique
$q = 1$	Capteur Électrique - Actionneur Magnétique	Actionneur Électrique et Magnétique

Théorème

Dans des espaces de la forme $L^2(0, T; X)$, on a les convergences faibles suivantes :

- $\mathbf{u}^\varepsilon \rightharpoonup \mathbf{u}^0 \equiv (\tilde{\mathbf{u}}^0, u_3^0)$, avec

$$\tilde{\mathbf{u}}^0(\tilde{x}, x_3) = \mathbf{u}_H(\tilde{x}) - x_3 \nabla w(\tilde{x}) \quad \text{et} \quad u_3^0(\tilde{x}, x_3) = w(\tilde{x});$$

Théorème

Dans des espaces de la forme $L^2(0, T; X)$, on a les convergences faibles suivantes :

- $\mathbf{u}^\varepsilon \rightharpoonup \mathbf{u}^0 \equiv (\tilde{\mathbf{u}}^0, u_3^0)$, avec

$$\tilde{\mathbf{u}}^0(\tilde{x}, x_3) = \mathbf{u}_H(\tilde{x}) - x_3 \nabla w(\tilde{x}) \quad \text{et} \quad u_3^0(\tilde{x}, x_3) = w(\tilde{x});$$

- $\theta^\varepsilon \rightharpoonup \theta^0$, avec

$$\theta^0(\tilde{x}, x_3) = \vartheta(\tilde{x}).$$

Analyse Asymptotique II

Théorème

Dans des espaces de la forme $L^2(0, T; X)$, on a les convergences faibles suivantes :

- $\mathbf{u}^\varepsilon \rightharpoonup \mathbf{u}^0 \equiv (\tilde{\mathbf{u}}^0, u_3^0)$, avec

$$\tilde{\mathbf{u}}^0(\tilde{x}, x_3) = \mathbf{u}_H(\tilde{x}) - x_3 \nabla w(\tilde{x}) \quad \text{et} \quad u_3^0(\tilde{x}, x_3) = w(\tilde{x});$$

- $\theta^\varepsilon \rightharpoonup \theta^0$, avec

$$\theta^0(\tilde{x}, x_3) = \vartheta(\tilde{x}).$$

- $\varphi^\varepsilon \rightharpoonup \varphi^0$ et $\zeta^\varepsilon \rightharpoonup \zeta^0$, où, suivant le modèle (i.e. les conditions aux limites),

$$\begin{aligned} \varphi^0(\tilde{x}, x_3) &= \phi(\tilde{x}) & \text{ou} & & \varphi^0(\tilde{x}, x_3) &= \sum_{k=0}^2 f_k(\tilde{x}) x_3^k, \\ \zeta^0(\tilde{x}, x_3) &= \varsigma(\tilde{x}) & \text{ou} & & \zeta^0(\tilde{x}, x_3) &= \sum_{k=0}^2 z_k(\tilde{x}) x_3^k, \end{aligned}$$

étant f_k et z_k des coefficients tenant compte des couplages et dépendant de $\partial_{\alpha\beta} w(\tilde{x})$.

Théorème

Dans des espaces de la forme $L^2(0, T; X)$, on a les convergences faibles suivantes :

- $\mathbf{u}^\varepsilon \rightharpoonup \mathbf{u}^0 \equiv (\tilde{\mathbf{u}}^0, u_3^0)$, avec

$$\tilde{\mathbf{u}}^0(\tilde{x}, x_3) = \mathbf{u}_H(\tilde{x}) - x_3 \nabla w(\tilde{x}) \quad \text{et} \quad u_3^0(\tilde{x}, x_3) = w(\tilde{x});$$

- $\theta^\varepsilon \rightharpoonup \theta^0$, avec

$$\theta^0(\tilde{x}, x_3) = \vartheta(\tilde{x}).$$

- $\varphi^\varepsilon \rightharpoonup \varphi^0$ et $\zeta^\varepsilon \rightharpoonup \zeta^0$, où, suivant le modèle (i.e. les conditions aux limites),

$$\begin{aligned} \varphi^0(\tilde{x}, x_3) &= \phi(\tilde{x}) & \text{ou} & & \varphi^0(\tilde{x}, x_3) &= \sum_{k=0}^2 f_k(\tilde{x}) x_3^k, \\ \zeta^0(\tilde{x}, x_3) &= \varsigma(\tilde{x}) & \text{ou} & & \zeta^0(\tilde{x}, x_3) &= \sum_{k=0}^2 z_k(\tilde{x}) x_3^k, \end{aligned}$$

étant f_k et z_k des coefficients tenant compte des couplages et dépendant de $\partial_{\alpha\beta} w(\tilde{x})$.

- Cas **actionneur** : Sène (2001) en **statique**, Raoult & Sène (2003) en **dynamique**, pour un milieu **piézoélectrique**.

Résultats Généraux

- Les problèmes limites se découpent en un problème de membrane et un problème de flexion.

Résultats Généraux

- Les problèmes limites se découpent en un problème de membrane et un problème de flexion.
- Le problème de membrane est partiellement ou totalement couplé, suivant le modèle.

Résultats Généraux

- Les problèmes limites se découpent en un problème de membrane et un problème de flexion.
- Le problème de membrane est partiellement ou totalement couplé, suivant le modèle.
- Le problème de flexion présente la même forme dans tous les cas.

Résultats Généraux

- Les problèmes limites se découpent en un problème de membrane et un problème de flexion.
- Le problème de membrane est partiellement ou totalement couplé, suivant le modèle.
- Le problème de flexion présente la même forme dans tous les cas.

Exemples

Actionneur Électrique et Magnétique

- Problème de membrane **thermo-élastique**.

Résultats Généraux

- Les problèmes limites se découpent en un problème de membrane et un problème de flexion.
- Le problème de membrane est partiellement ou totalement couplé, suivant le modèle.
- Le problème de flexion présente la même forme dans tous les cas.

Exemples

Actionneur Électrique et Magnétique

- Problème de membrane **thermo-élastique**.

Capteur Électrique et Magnétique

- Problème de membrane **magnéto-électro-thermo-élastique**.

Problème de Flexion

$$\left\{ \begin{array}{ll} 2\ell\rho\ddot{w} - \frac{2\ell^3}{3}\rho\Delta\ddot{w} - \operatorname{div} \operatorname{div} \mathbf{M} = \tilde{f}_3 & \text{dans } \omega \times (0, T), \\ w(0) = w_0, \dot{w}(0) = w_1 & \text{dans } \omega, \\ \frac{2\ell^3}{3}\rho\partial_n\ddot{w} + \operatorname{div} \mathbf{M} \cdot \mathbf{n} + \partial_\tau(\mathbf{M}\mathbf{n} \cdot \boldsymbol{\tau}) = \tilde{g}_3 & \text{sur } \gamma_1 \times (0, T), \\ \mathbf{M}\mathbf{n} \cdot \mathbf{n} = \tilde{\mathbf{s}} \cdot \mathbf{n} & \text{sur } \gamma_1 \times (0, T), \\ w = \partial_n w = 0 & \text{sur } \gamma_0 \times (0, T), \end{array} \right.$$

$$\mathbf{M} := -\frac{2\ell^3}{3} \mathbb{A} \nabla \nabla w.$$

Problème de Flexion

$$\left\{ \begin{array}{ll} 2\ell\rho\ddot{w} - \frac{2\ell^3}{3}\rho\Delta\ddot{w} - \operatorname{div} \operatorname{div} \mathbf{M} = \tilde{f}_3 & \text{dans } \omega \times (0, T), \\ w(0) = w_0, \dot{w}(0) = w_1 & \text{dans } \omega, \\ \frac{2\ell^3}{3}\rho\partial_n\ddot{w} + \operatorname{div} \mathbf{M} \cdot \mathbf{n} + \partial_\tau(\mathbf{M}\mathbf{n} \cdot \boldsymbol{\tau}) = \tilde{g}_3 & \text{sur } \gamma_1 \times (0, T), \\ \mathbf{M}\mathbf{n} \cdot \mathbf{n} = \tilde{\mathbf{s}} \cdot \mathbf{n} & \text{sur } \gamma_1 \times (0, T), \\ w = \partial_n w = 0 & \text{sur } \gamma_0 \times (0, T), \end{array} \right.$$

$$\mathbf{M} := -\frac{2\ell^3}{3} \mathbb{A} \nabla \nabla w.$$

- L'évolution tient compte d'un effet d'inertie de rotation.

Problème de Flexion

$$\left\{ \begin{array}{ll} 2\ell\rho\ddot{w} - \frac{2\ell^3}{3}\rho\Delta\ddot{w} - \operatorname{div} \operatorname{div} \mathbf{M} = \tilde{f}_3 & \text{dans } \omega \times (0, T), \\ w(0) = w_0, \dot{w}(0) = w_1 & \text{dans } \omega, \\ \frac{2\ell^3}{3}\rho\partial_n\ddot{w} + \operatorname{div} \mathbf{M} \cdot \mathbf{n} + \partial_\tau(\mathbf{M}\mathbf{n} \cdot \boldsymbol{\tau}) = \tilde{g}_3 & \text{sur } \gamma_1 \times (0, T), \\ \mathbf{M}\mathbf{n} \cdot \mathbf{n} = \tilde{s} \cdot \mathbf{n} & \text{sur } \gamma_1 \times (0, T), \\ w = \partial_n w = 0 & \text{sur } \gamma_0 \times (0, T), \end{array} \right.$$

$$\mathbf{M} := -\frac{2\ell^3}{3} \mathbb{A} \nabla \nabla w.$$

- L'évolution tient compte d'un effet d'inertie de rotation.
- Le tenseur $\mathbb{A} = (A_{\alpha\beta\sigma\tau})$ prend en compte les effets élastiques et les effets multiphysiques.

Problème de Flexion

$$\left\{ \begin{array}{ll} 2\ell\rho\ddot{w} - \frac{2\ell^3}{3}\rho\Delta\ddot{w} - \operatorname{div} \operatorname{div} \mathbf{M} = \tilde{f}_3 & \text{dans } \omega \times (0, T), \\ w(0) = w_0, \dot{w}(0) = w_1 & \text{dans } \omega, \\ \frac{2\ell^3}{3}\rho\partial_n\ddot{w} + \operatorname{div} \mathbf{M} \cdot \mathbf{n} + \partial_\tau(\mathbf{M}\mathbf{n} \cdot \boldsymbol{\tau}) = \tilde{g}_3 & \text{sur } \gamma_1 \times (0, T), \\ \mathbf{M}\mathbf{n} \cdot \mathbf{n} = \tilde{\mathbf{s}} \cdot \mathbf{n} & \text{sur } \gamma_1 \times (0, T), \\ w = \partial_n w = 0 & \text{sur } \gamma_0 \times (0, T), \end{array} \right.$$

$$\mathbf{M} := -\frac{2\ell^3}{3} \mathbb{A} \nabla \nabla w.$$

- L'évolution tient compte d'un effet d'inertie de rotation.
- Le tenseur $\mathbb{A} = (A_{\alpha\beta\sigma\tau})$ prend en compte les effets élastiques et les effets multiphysiques.
- Raoult (1985) a obtenu un problème analogue dans le cas d'un milieu élastique.

- Objectifs et Motivation
- Modélisation Mathématique
- **Simulation Numérique**
- Développements et Perspectives
- Conclusions

Problème de Flexion

- On considère $\gamma_0 = \partial\omega$ et les cas de plaque **encastrée** et **simplement appuyée**.
- On considère \mathbb{A} tel que $\mathbf{M} = -D\left((1 - \nu)\nabla\nabla w + \nu\Delta w \mathbf{I}\right)$.

Problème de Flexion

- On considère $\gamma_0 = \partial\omega$ et les cas de plaque **encastrée** et **simplement appuyée**.
- On considère \mathbb{A} tel que $\mathbf{M} = -D\left((1 - \nu)\nabla\nabla w + \nu\Delta w \mathbf{I}\right)$.

Plaque Encastrée

$$\begin{cases} 2\ell\rho\ddot{w} - \frac{2\ell^3}{3}\rho\Delta\ddot{w} + D\Delta\Delta w = f & \text{dans } \omega \times (0, T), \\ w(0) = w_0, \dot{w}(0) = w_1 & \text{dans } \omega, \\ w = \partial_n w = 0 & \text{sur } \partial\omega \times (0, T). \end{cases}$$

Problème de Flexion

- On considère $\gamma_0 = \partial\omega$ et les cas de plaque **encastrée** et **simplement appuyée**.
- On considère \mathbb{A} tel que $\mathbf{M} = -D\left((1 - \nu)\nabla\nabla w + \nu\Delta w \mathbf{I}\right)$.

Plaque Encastrée

$$\begin{cases} 2\ell\rho\ddot{w} - \frac{2\ell^3}{3}\rho\Delta\ddot{w} + D\Delta\Delta w = f & \text{dans } \omega \times (0, T), \\ w(0) = w_0, \dot{w}(0) = w_1 & \text{dans } \omega, \\ w = \partial_n w = 0 & \text{sur } \partial\omega \times (0, T). \end{cases}$$

Plaque Simplement Appuyée

$$\begin{cases} 2\ell\rho\ddot{w} - \frac{2\ell^3}{3}\rho\Delta\ddot{w} + D\Delta\Delta w = f & \text{dans } \omega \times (0, T), \\ w(0) = w_0, \dot{w}(0) = w_1 & \text{dans } \omega, \\ w = 0, \mathbf{Mn} \cdot \mathbf{n} = 0 & \text{sur } \partial\omega \times (0, T). \end{cases}$$

Problème de Flexion

- On considère $\gamma_0 = \partial\omega$ et les cas de plaque **encastrée** et **simplement appuyée**.
- On considère \mathbb{A} tel que $\mathbf{M} = -D\left((1-\nu)\nabla\nabla w + \nu\Delta w \mathbf{I}\right)$.

Plaque Encastrée

$$\begin{cases} 2\ell\rho\ddot{w} - \frac{2\ell^3}{3}\rho\Delta\ddot{w} + D\Delta\Delta w = f & \text{dans } \omega \times (0, T), \\ w(0) = w_0, \dot{w}(0) = w_1 & \text{dans } \omega, \\ w = \partial_n w = 0 & \text{sur } \partial\omega \times (0, T). \end{cases}$$

Plaque Simplyment Appuyée

$$\begin{cases} 2\ell\rho\ddot{w} - \frac{2\ell^3}{3}\rho\Delta\ddot{w} + D\Delta\Delta w = f & \text{dans } \omega \times (0, T), \\ w(0) = w_0, \dot{w}(0) = w_1 & \text{dans } \omega, \\ w = 0, \mathbf{Mn} \cdot \mathbf{n} = 0 & \text{sur } \partial\omega \times (0, T). \end{cases}$$

- Suivant le problème, on pose

$$V := H_0^2(\omega) \quad \text{ou} \quad V := H^2(\omega) \cap H_0^1(\omega),$$
$$H := H_0^1(\omega) \quad [\neq L^2(\omega)].$$

- Produit scalaire sur H :

$$b(u, v) := 2\ell\rho \int_{\omega} \left(uv + \frac{\ell^2}{3} \nabla u \cdot \nabla v \right).$$

Existence et Unicité

- Produit scalaire sur H :

$$b(u, v) := 2\ell\rho \int_{\omega} \left(uv + \frac{\ell^2}{3} \nabla u \cdot \nabla v \right).$$

- Forme bilinéaire sur V :

$$a(u, v) := \int_{\omega} \left(D\nu \Delta u \Delta v + D(1 - \nu) \nabla \nabla u : \nabla \nabla v \right).$$

Existence et Unicité

- Produit scalaire sur H :

$$b(u, v) := 2\ell\rho \int_{\omega} \left(uv + \frac{\ell^2}{3} \nabla u \cdot \nabla v \right).$$

- Forme bilinéaire sur V :

$$a(u, v) := \int_{\omega} \left(D\nu \Delta u \Delta v + D(1 - \nu) \nabla \nabla u : \nabla \nabla v \right).$$

- Forme linéaire sur H à identifier avec $b(F(t), v)$ pour $F \in L^2(0, T; H)$:

$$L_t(v) := \int_{\omega} f(t)v = b(F(t), v).$$

Existence et Unicité

- Produit scalaire sur H :

$$b(u, v) := 2\ell\rho \int_{\omega} \left(uv + \frac{\ell^2}{3} \nabla u \cdot \nabla v \right).$$

- Forme bilinéaire sur V :

$$a(u, v) := \int_{\omega} \left(D\nu \Delta u \Delta v + D(1 - \nu) \nabla \nabla u : \nabla \nabla v \right).$$

- Forme linéaire sur H à identifier avec $b(F(t), v)$ pour $F \in L^2(0, T; H)$:

$$L_t(v) := \int_{\omega} f(t)v = b(F(t), v).$$

- Le problème suivant est bien posé (J.-L. Lions) :

Trouver $w \in C^0([0, T]; V) \cap C^1([0, T]; H)$ telle que

$$\forall v \in V, \quad \frac{d^2}{dt^2} b(w(t), v) + a(w(t), v) = b(F(t), v),$$

$$w(0) = w_0 \in V, \quad \frac{dw}{dt}(0) = w_1 \in H.$$

Problème Semi-Discret (Raviart & Thomas, 1983)

$$\begin{aligned}\mathcal{M}^h \frac{d^2 \boldsymbol{\xi}}{dt^2}(t) + \mathcal{K}^h \boldsymbol{\xi}(t) &= \mathcal{F}^h(t), \\ \boldsymbol{\xi}(0) &= \boldsymbol{\xi}_0, \quad \dot{\boldsymbol{\xi}}(0) = \dot{\boldsymbol{\xi}}_1, \\ \mathcal{M}_{ij}^h &:= b(\varphi_i, \varphi_j)_{1 \leq i, j \leq N}, \quad \mathcal{K}_{ij}^h := a(\varphi_i, \varphi_j)_{1 \leq i, j \leq N}.\end{aligned}$$

Méthodes de Discrétisation

- Discrétisation en espace : **éléments finis HCT.**

Problème Semi-Discret (Raviart & Thomas, 1983)

$$\begin{aligned} \mathcal{M}^h \frac{d^2 \boldsymbol{\xi}}{dt^2}(t) + \mathcal{K}^h \boldsymbol{\xi}(t) &= \mathcal{F}^h(t), \\ \boldsymbol{\xi}(0) &= \boldsymbol{\xi}_0, \quad \dot{\boldsymbol{\xi}}(0) = \dot{\boldsymbol{\xi}}_1, \\ \mathcal{M}_{ij}^h &:= b(\varphi_i, \varphi_j)_{1 \leq i, j \leq N}, \quad \mathcal{K}_{ij}^h := a(\varphi_i, \varphi_j)_{1 \leq i, j \leq N}. \end{aligned}$$

Méthodes de Discrétisation

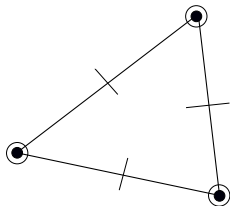
- Discrétisation en espace : **éléments finis HCT.**
- Discrétisation en temps : **Newmark, point milieu.**

Problème Semi-Discret (Raviart & Thomas, 1983)

$$\begin{aligned} \mathcal{M}^h \frac{d^2 \boldsymbol{\xi}}{dt^2}(t) + \mathcal{K}^h \boldsymbol{\xi}(t) &= \mathcal{F}^h(t), \\ \boldsymbol{\xi}(0) &= \boldsymbol{\xi}_0, \quad \dot{\boldsymbol{\xi}}(0) = \dot{\boldsymbol{\xi}}_1, \\ \mathcal{M}_{ij}^h &:= b(\varphi_i, \varphi_j)_{1 \leq i, j \leq N}, \quad \mathcal{K}_{ij}^h := a(\varphi_i, \varphi_j)_{1 \leq i, j \leq N}. \end{aligned}$$

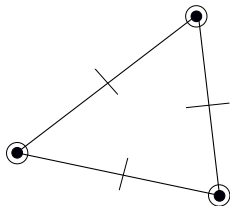
Méthodes de Discrétisation

- Discrétisation en espace : **éléments finis HCT**.
- Discrétisation en temps : **Newmark, point milieu**.
- Implémentation sous l'environnement **FreeFEM++**.

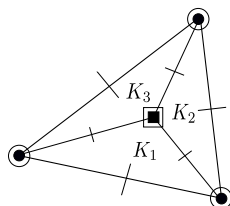


- Élément fini C^1 .
- Nombre de DDL = 12.

Élément HCT

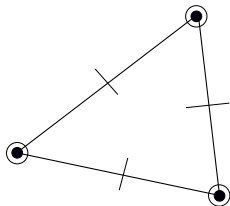


- Élément fini C^1 .
- Nombre de DDL = 12.

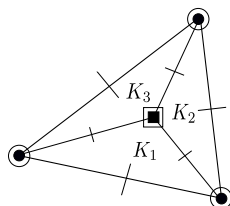


- Un polynôme de degré 3 est défini sur chaque K_i .

Élément HCT



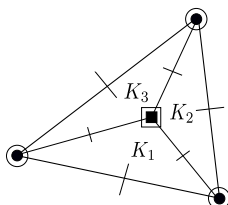
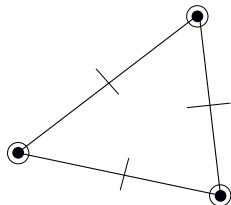
- Élément fini C^1 .
- Nombre de DDL = 12.



- Un polynôme de degré 3 est défini sur chaque K_i .

■ **Estimation d'erreur** : si $w \in H^4(\omega)$, on a $\|w - w_h\|_{H^2(\omega)} \leq Ch^2$ (Ciarlet, 1974).

Élément HCT

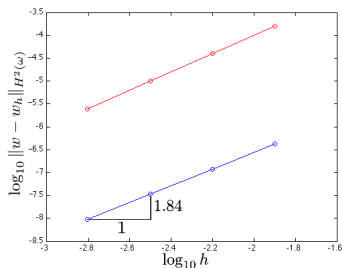


- Élément fini C^1 .
- Nombre de DDL = 12.
- Un polynôme de degré 3 est défini sur chaque K_i .
- **Estimation d'erreur** : si $w \in H^4(\omega)$, on a $\|w - w_h\|_{H^2(\omega)} \leq Ch^2$ (Ciarlet, 1974).
- **Schéma de quadrature adapté** : formule exacte pour les polynômes de degré 2 sur chaque K_i et nœuds en dehors des interfaces entre K_i et K_j ($\partial_{\alpha\beta} w$ non continues sur ces interfaces).

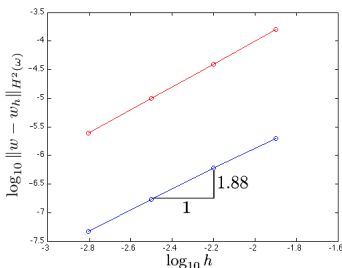
Test Statique

Plaque Circulaire Encadrée

$$\begin{cases} D \Delta \Delta w = f & \text{dans } \omega, \\ w = \partial_n w = 0 & \text{sur } \partial \omega, \end{cases}, \quad \omega = \{(x, y) \in \mathbb{R}^2, x^2 + y^2 < R^2\}, \\ R = 5 \text{ cm.}$$



(1)



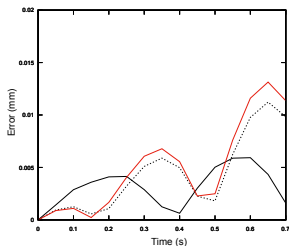
(2)

Erreur en norme H^2 (maillages emboîtés) pour $w(x, y) = \frac{f_0}{64D} (R^2 - (x^2 + y^2))^2$ (1)
et $w(x, y) = \frac{f_0}{64D} (R^2 - (x^2 + y^2))^2 \sin(ax)$, $a = 0.5 \text{ cm}^{-1}$ (2). **Pente de la droite rouge = 2.**

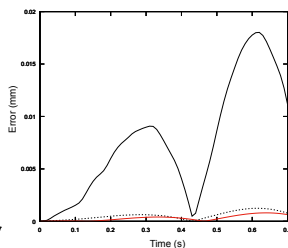
Test Dynamique

Plaque Rectangulaire Simplement Appuyée

- $\omega = (0, a) \times (0, b)$, $a = 6 \text{ cm}$, $b = 8 \text{ cm}$.
- $f \equiv 0$; $w_0(x, y) \equiv 0$, $w_1(x, y) = \alpha \sin\left(\frac{\pi}{a}x\right) \sin\left(\frac{\pi}{b}y\right)$, $\alpha = 1 \text{ mm}$, $\kappa = 10 \text{ s}^{-1}$.
- Solution exacte $w(x, y; t) = \frac{\alpha}{\kappa} \sin\left(\frac{\pi}{a}x\right) \sin\left(\frac{\pi}{b}y\right) \sin(\kappa t)$.



(1)



(2)

Évolution de l'erreur pour un pas de temps $\Delta t = 0.05 \text{ s}$ (1) et $\Delta t = 0.01 \text{ s}$ (2), avec **trois maillages emboîtés**. Courbe continue : 13 éléments ; courbe discontinue : 52 éléments ; **courbe rouge** : 208 éléments.

- Objectifs et Motivation
- Modélisation Mathématique
- Simulation Numérique
- **Développements et Perspectives**
- Conclusions

- Justification rigoureuse de la convergence de la solution du problème général vers celle du problème quasi-statique lorsque $\delta \rightarrow 0$.

- Justification rigoureuse de la convergence de la solution du problème général vers celle du problème quasi-statique lorsque $\delta \rightarrow 0$.
- Extension aux structures en forme de coque.

- Justification rigoureuse de la convergence de la solution du problème général vers celle du problème quasi-statique lorsque $\delta \rightarrow 0$.
- Extension aux structures en forme de coque.
- Étude d'une structure laminée, de type plaque ou coque, contenant une couche de matériau METE.

- Justification rigoureuse de la convergence de la solution du problème général vers celle du problème quasi-statique lorsque $\delta \rightarrow 0$.
- Extension aux structures en forme de coque.
- Étude d'une structure laminée, de type plaque ou coque, contenant une couche de matériau METE.
- Étude d'une méthode de discrétisation en espace **non conforme** de type **HHO** pour le problème de flexion en statique, et couplage avec la méthode de Newmark en dynamique.

- Justification rigoureuse de la convergence de la solution du problème général vers celle du problème quasi-statique lorsque $\delta \rightarrow 0$.
- Extension aux structures en forme de coque.
- Étude d'une structure laminée, de type plaque ou coque, contenant une couche de matériau METE.
- Étude d'une méthode de discrétisation en espace **non conforme** de type **HHO** pour le problème de flexion en statique, et couplage avec la méthode de Newmark en dynamique.
- Calcul d'un cas réel d'ingénierie et comparaison des méthodes numériques.

Méthode HHO pour le Problème de Flexion I

■ Problème de flexion **statique** :

Étant donnée $f \in L^2(\omega)$, trouver $u \in H_0^2(\omega)$ telle que

$$\frac{2\ell^3}{3} \int_{\omega} \mathbb{A} \nabla \nabla u : \nabla \nabla v =: a_{\omega}(u, v) = l(v) := \int_{\omega} f v, \quad \forall v \in H_0^2(\omega).$$

Méthode HHO pour le Problème de Flexion I

- Problème de flexion **statique** :

Étant donnée $f \in L^2(\omega)$, trouver $u \in H_0^2(\omega)$ telle que

$$\frac{2\ell^3}{3} \int_{\omega} \mathbb{A} \nabla \nabla u : \nabla \nabla v =: a_{\omega}(u, v) = l(v) := \int_{\omega} f v, \quad \forall v \in H_0^2(\omega).$$

- Méthode **hybride d'ordre élevé (HHO)** (Di Pietro, Ern, Lemaire, 2014).

Méthode HHO pour le Problème de Flexion I

- Problème de flexion **statique** :

Étant donnée $f \in L^2(\omega)$, trouver $u \in H_0^2(\omega)$ telle que

$$\frac{2\ell^3}{3} \int_{\omega} \mathbb{A} \nabla \nabla u : \nabla \nabla v =: a_{\omega}(u, v) = l(v) := \int_{\omega} f v, \quad \forall v \in H_0^2(\omega).$$

- Méthode **hybride d'ordre élevé (HHO)** (Di Pietro, Ern, Lemaire, 2014).

Caractéristiques Essentielles

Méthode HHO pour le Problème de Flexion I

- Problème de flexion **statique** :

Étant donnée $f \in L^2(\omega)$, trouver $u \in H_0^2(\omega)$ telle que

$$\frac{2\ell^3}{3} \int_{\omega} \mathbb{A} \nabla \nabla u : \nabla \nabla v =: a_{\omega}(u, v) = l(v) := \int_{\omega} f v, \quad \forall v \in H_0^2(\omega).$$

- Méthode **hybride d'ordre élevé (HHO)** (Di Pietro, Ern, Lemaire, 2014).

Caractéristiques Essentielles

- Inconnues discrètes polynômiales *indépendantes* de degré arbitraire, définies sur les faces F et sur les cellules T du maillage. Espace des DDL locaux :

$$\underline{U}_T^k := \mathbb{P}_2^k(T) \times \left\{ \prod_{F \in \mathcal{F}_T} [\mathbb{P}_1^k(F)]^2 \right\} \times \left\{ \prod_{F \in \mathcal{F}_T} \mathbb{P}_1^{k-1}(F) \right\}, \quad \underline{v}_T = (v_T, \mathbf{v}_{\nabla, F}, v_F).$$

Méthode HHO pour le Problème de Flexion I

- Problème de flexion **statique** :

Étant donnée $f \in L^2(\omega)$, trouver $u \in H_0^2(\omega)$ telle que

$$\frac{2\ell^3}{3} \int_{\omega} \mathbb{A} \nabla \nabla u : \nabla \nabla v =: a_{\omega}(u, v) = l(v) := \int_{\omega} f v, \quad \forall v \in H_0^2(\omega).$$

- Méthode **hybride d'ordre élevé (HHO)** (Di Pietro, Ern, Lemaire, 2014).

Caractéristiques Essentielles

- Inconnues discrètes polynômiales *indépendantes* de degré arbitraire, définies sur les faces F et sur les cellules T du maillage. Espace des DDL locaux :

$$\underline{U}_T^k := \mathbb{P}_2^k(T) \times \left\{ \prod_{F \in \mathcal{F}_T} [\mathbb{P}_1^k(F)]^2 \right\} \times \left\{ \prod_{F \in \mathcal{F}_T} \mathbb{P}_1^{k-1}(F) \right\}, \quad \underline{v}_T = (v_T, \mathbf{v}_{\nabla, F}, v_F).$$

- Opérateur de **reconstruction locale** $p_{\Delta, T}^{k+2} : \underline{U}_T^k \rightarrow \mathbb{P}^{k+2}(T)$:

$$\begin{aligned} a_T(p_{\Delta, T}^{k+2} \underline{v}_T, w) = & a_T(v_T, w) - \sum_{F \in \mathcal{F}_T} (\mathbf{v}_{\nabla, F} - \nabla v_T, \mathbf{M}_w \mathbf{n}_{TF})_F + \\ & + \sum_{F \in \mathcal{F}_T} (v_F - v_T, \operatorname{div} \mathbf{M}_w \cdot \mathbf{n}_{TF})_F, \end{aligned}$$

pour tout $w \in \mathbb{P}^{k+2}(T)$, où $\mathbf{M}_w := -\frac{2\ell^3}{3} \mathbb{A} \nabla \nabla w \in [\mathbb{P}^k(T)]^4$.

■ Forme bilinéaire locale :

$$\hat{a}_T(\underline{u}_T, \underline{v}_T) = a_T(p_{\Delta, T}^{k+2} \underline{u}_T, p_{\Delta, T}^{k+2} \underline{v}_T) + s_T(\underline{u}_T, \underline{v}_T), \quad \forall (\underline{u}_T, \underline{v}_T) \in \underline{U}_T^k \times \underline{U}_T^k.$$

- Forme bilinéaire locale :

$$\hat{a}_T(\underline{u}_T, \underline{v}_T) = a_T(p_{\Delta, T}^{k+2} \underline{u}_T, p_{\Delta, T}^{k+2} \underline{v}_T) + s_T(\underline{u}_T, \underline{v}_T), \quad \forall (\underline{u}_T, \underline{v}_T) \in \underline{U}_T^k \times \underline{U}_T^k.$$

- Forme bilinéaire globale :

$$\hat{a}_h(\underline{u}_h, \underline{v}_h) := \sum_{T \in \mathcal{T}_h} \hat{a}_T(\underline{L}_T \underline{u}_h, \underline{L}_T \underline{v}_h), \quad \forall (\underline{u}_h, \underline{v}_h) \in \underline{U}_h^k \times \underline{U}_h^k.$$

Méthode HHO pour le Problème de Flexion II

- Forme bilinéaire locale :

$$\hat{a}_T(\underline{u}_T, \underline{v}_T) = a_T(p_{\Delta, T}^{k+2} \underline{u}_T, p_{\Delta, T}^{k+2} \underline{v}_T) + s_T(\underline{u}_T, \underline{v}_T), \quad \forall (\underline{u}_T, \underline{v}_T) \in \underline{U}_T^k \times \underline{U}_T^k.$$

- Forme bilinéaire globale :

$$\hat{a}_h(\underline{u}_h, \underline{v}_h) := \sum_{T \in \mathcal{T}_h} \hat{a}_T(\underline{L}_T \underline{u}_h, \underline{L}_T \underline{v}_h), \quad \forall (\underline{u}_h, \underline{v}_h) \in \underline{U}_h^k \times \underline{U}_h^k.$$

En cours :

- Preuve de la *coercivité* de $\hat{a}_h(\cdot, \cdot)$.
- Preuve de la *consistance* du problème discret.
- Dédution d'estimations d'erreur.

- Objectifs et Motivation
- Modélisation Mathématique
- Simulation Numérique
- Développements et Perspectives
- **Conclusions**

- Nous avons présenté un modèle mathématique de structures de type capteur ou actionneur, avec couplages linéaires METE, et nous avons montré que les problèmes général et quasi-statique sont bien posés.

Conclusions

- Nous avons présenté un modèle mathématique de structures de type capteur ou actionneur, avec couplages linéaires METE, et nous avons montré que les problèmes général et quasi-statique sont bien posés.
- Nous avons déduit un modèle bidimensionnel pour une structure en forme de plaque, en considérant quatre types différents de conditions au bord. Résultats de l'analyse asymptotique validés grâce à des théorèmes de convergence faible.

Conclusions

- Nous avons présenté un modèle mathématique de structures de type capteur ou actionneur, avec couplages linéaires METE, et nous avons montré que les problèmes général et quasi-statique sont bien posés.
- Nous avons déduit un modèle bidimensionnel pour une structure en forme de plaque, en considérant quatre types différents de conditions au bord. Résultats de l'analyse asymptotique validés grâce à des théorèmes de convergence faible.
- Nous avons traité numériquement le problème de flexion caractérisant tous les quatre problèmes de plaque en utilisant la méthode de Newmark du point milieu combinée avec une discrétisation conforme de type HCT.

Conclusions

- Nous avons présenté un modèle mathématique de structures de type capteur ou actionneur, avec couplages linéaires METE, et nous avons montré que les problèmes général et quasi-statique sont bien posés.
- Nous avons déduit un modèle bidimensionnel pour une structure en forme de plaque, en considérant quatre types différents de conditions au bord. Résultats de l'analyse asymptotique validés grâce à des théorèmes de convergence faible.
- Nous avons traité numériquement le problème de flexion caractérisant tous les quatre problèmes de plaque en utilisant la méthode de Newmark du point milieu combinée avec une discrétisation conforme de type HCT.
- Nous avons indiqué des perspectives pour des travaux futurs, en donnant un premier aperçu sur l'étude d'une discrétisation non conforme de type HHO pour le problème de flexion en statique.

Merci de votre attention

$$\blacksquare \mathbb{A} = \tilde{\mathbb{C}} - \tilde{\mathbb{P}}_3 \otimes \mathbb{A} - \tilde{\mathbb{R}}_3 \otimes \mathbb{G},$$

$$\Lambda_{\alpha\beta} := \frac{\tilde{M}_{33}\tilde{P}_{3\alpha\beta} - \tilde{\alpha}_{33}\tilde{R}_{3\alpha\beta}}{\tilde{M}_{33}\tilde{X}_{33} - \tilde{\alpha}_{33}^2}, \quad \Gamma_{\alpha\beta} := \frac{\tilde{\alpha}_{33}\tilde{P}_{3\alpha\beta} - \tilde{X}_{33}\tilde{R}_{3\alpha\beta}}{\tilde{M}_{33}\tilde{X}_{33} - \tilde{\alpha}_{33}^2}.$$

■ $\mathbb{A} = \tilde{\mathbb{C}} - \tilde{\mathbb{P}}_3 \otimes \mathbb{A} - \tilde{\mathbb{R}}_3 \otimes \mathbb{G},$

$$\Lambda_{\alpha\beta} := \frac{\tilde{M}_{33}\tilde{P}_{3\alpha\beta} - \tilde{\alpha}_{33}\tilde{R}_{3\alpha\beta}}{\tilde{M}_{33}\tilde{X}_{33} - \tilde{\alpha}_{33}^2}, \quad \Gamma_{\alpha\beta} := \frac{\tilde{\alpha}_{33}\tilde{P}_{3\alpha\beta} - \tilde{X}_{33}\tilde{R}_{3\alpha\beta}}{\tilde{M}_{33}\tilde{X}_{33} - \tilde{\alpha}_{33}^2}.$$

■ On obtient par conséquent :

$$A_{1111} = A_{2222} = 124 \text{ GPa}, \quad A_{1122} = 34 \text{ GPa}, \quad A_{1212} = 45 \text{ GPa}.$$

- Quantités fondamentales : masse, ... \Rightarrow Densité de masse scalaire.

Tenseur de Masse

- Quantités fondamentales : masse, ... \Rightarrow Densité de masse scalaire.
- Quantités fondamentales : puissance, énergie, ...

Tenseur de Masse

- Quantités fondamentales : masse, ... \Rightarrow Densité de masse scalaire.
- Quantités fondamentales : puissance, énergie, ...

Puissance interne := dérivée par rapport au temps de l'énergie totale + puissance inertielle.

Axiome pour la puissance **inertielle** : $\pi^{in} = \mathbf{f}_0(\Theta) \cdot \mathbf{v}$,
 Θ = liste de variables d'état, y compris $\dot{\mathbf{v}}$.

Axiome pour la puissance interne : $\alpha = \alpha(\Theta, \mathbf{v})$, invariante par translation.

Tenseur de Masse

- **Quantités fondamentales : masse, ...** \Rightarrow Densité de masse scalaire.
- **Quantités fondamentales : puissance, énergie, ...**

Puissance interne := dérivée par rapport au temps de l'énergie totale + puissance inertielle.

Axiome pour la puissance **inertielle** : $\pi^{in} = \mathbf{f}_0(\Theta) \cdot \mathbf{v}$,
 Θ = liste de variables d'état, y compris $\dot{\mathbf{v}}$.

Axiome pour la puissance interne : $\alpha = \alpha(\Theta, \mathbf{v})$, invariante par translation.

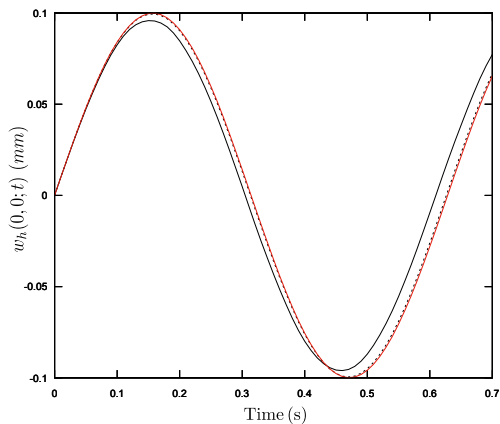
Théorème de Décomposition de l'Énergie (Podio-Guidugli, 1997)

Il existe $\rho \in \text{Sym}$ vérifiant $\dot{\rho} = \mathbf{0}$ et $\epsilon(\Theta) \in \mathbb{R}$ tels que

$$\tau(\Theta, \mathbf{v}) = \epsilon(\Theta) + \frac{1}{2} \rho \mathbf{v} \cdot \mathbf{v},$$

$$\mathbf{f}^{in}(\Theta, \mathbf{v}) = -\rho \dot{\mathbf{v}} + \mathbf{F}^{in}(\Theta, \mathbf{v}) \mathbf{v}, \quad \mathbf{F}^{in}(\Theta, \mathbf{v}) \in \text{Skw}.$$

Plaque Simplement Appuyée



Problèmes Limites III

Exemple : problème membranaire pour le **modèle capteur-actionneur**.

Problème Thermo-Piézoélectrique 2D

$$\begin{cases}
 2l\rho\ddot{\mathbf{u}}_H - \operatorname{div} \tilde{\mathbf{N}} = \tilde{\mathbf{f}} + \tilde{\mathbf{R}}_3 \llbracket \nabla \zeta \rrbracket & \text{dans } \omega \times (0, T), \\
 \operatorname{div} \tilde{\mathbf{D}} = \tilde{d} + \tilde{\alpha}_3 \cdot \llbracket \nabla \zeta \rrbracket & \text{dans } \omega \times (0, T), \\
 \dot{\tilde{\mathcal{S}}} + \operatorname{div} \tilde{\mathbf{q}} = \tilde{r} + \tilde{m}_3 \llbracket \dot{\zeta} \rrbracket & \text{dans } \omega \times (0, T), \\
 \mathbf{u}_H(0) = \mathbf{u}_{H,0}, \dot{\mathbf{u}}_H(0) = \mathbf{u}_{H,1}, \vartheta(0) = \vartheta_0 & \text{dans } \omega, \\
 \tilde{\mathbf{N}}\mathbf{n} = \tilde{\mathbf{g}} - \llbracket \zeta \rrbracket \tilde{\mathbf{R}}_3 \mathbf{n} & \text{sur } \gamma_1 \times (0, T), \\
 \tilde{\mathbf{D}} \cdot \mathbf{n} = \llbracket \zeta \rrbracket \tilde{\alpha}_3 \cdot \mathbf{n} & \text{sur } \gamma_1 \times (0, T), \\
 -\tilde{\mathbf{q}} \cdot \mathbf{n} = \tilde{q} & \text{sur } \gamma_1 \times (0, T), \\
 \mathbf{u}_H = \mathbf{0}, \phi = \vartheta = 0 & \text{sur } \gamma_0 \times (0, T),
 \end{cases}$$

$$\begin{cases}
 \tilde{\mathbf{N}} := 2l(\tilde{\mathbf{C}} \tilde{\mathbf{e}}(\mathbf{u}_H) + \tilde{\mathbf{P}} \nabla \phi - \tilde{\beta} \vartheta), \\
 \tilde{\mathbf{D}} := 2l(\tilde{\mathbf{P}}^T \tilde{\mathbf{e}}(\mathbf{u}_H) - \tilde{\mathbf{X}} \nabla \phi + \tilde{\mathbf{p}} \vartheta), \\
 \tilde{\mathcal{S}} := 2l(\tilde{\beta} : \tilde{\mathbf{e}}(\mathbf{u}_H) - \tilde{\mathbf{p}} \cdot \nabla \phi + \tilde{c}_v \vartheta), \\
 \tilde{\mathbf{q}} := -\frac{2l}{T_0} \tilde{\mathbf{K}} \nabla \vartheta.
 \end{cases}$$